

بِسْمِ اللَّهِ الرَّحْمَنِ الرَّحِيمِ



دانشگاه صنعتی شریف  
دانشکده مهندسی مکانیک

پروژه دینامیک پیشرفته

# شبیه سازی حرکت منیپولاتور سه درجه آزادی روی بدنه ماهواره در فضا

نگارش

ایمان شریفی

۹۸۲۱۰۱۸۴

استاد

دکتر نجات

بهمن ۹۸

## چکیده

در این پروژه شبیه سازی دینامیک منیپولاتور سه درجه آزادی بر روی بدنه جسم صلب فضایی ۶ درجه آزادی بدون در نظر گرفتن اثر گرانش با استفاده از هر دو روش نیوتنی و لاگرانژی انجام گرفته ، همچنین نتایج هردو روش با هم مقایسه شده اند . با استفاده از کوآترینیون ها که به مراتب دقت و سرعت بالاتری در حل عددی دارند نیز شبیه سازی شده است.

**کلیدواژه‌ها:** منیپولاتور سه درجه آزادی، روش نیوتنی، روش لاگرانژی، کوآترینیون ها

## فهرست مطالب

فهرست تصویرها .....	د
فهرست نمودارها .....	ه
فصل ۱ : مقدمه .....	۱
فصل ۲ : سینماتیک سیستم .....	۴
۲-۱ سینماتیک ماهواره .....	۵
۲-۲ سینماتیک منیپولاتور .....	۷
۲-۲-۱ لینک ۱ .....	۸
۲-۲-۲ لینک ۲ .....	۹
۲-۲-۳ لینک ۳ .....	۱۰
فصل ۳ : معادلات دینامیک سیستم .....	۱۱
۳-۱ روش لاگرانژ .....	۱۲
انرژی جنبشی اجزا سیستم .....	۱۲
- بدنه ماهواره .....	۱۲
- لینک ۱ .....	۱۲
- لینک ۲ .....	۱۲
- لینک ۳ .....	۱۲
- انرژی جنبشی کل سیستم .....	۱۳
- انرژی پتانسیل .....	۱۳
- لاگرانژین .....	۱۳
- فرم کلی معادلات لاگرانژ غیرمقید .....	۱۳
۳-۲ روش نیوتن .....	۱۴
۱-۲-۳ ممتوم زاویه ای نسبت به مرکز جرم اجزاء و نرخ تغییرات آن ها .....	۱۴
۲-۲-۳ معادلات حاکم بر سیستم بر اساس قانون دوم نیوتن .....	۱۴
کواترنیون ها .....	۱۶

۱۹	- معادلات قید
۲۰	فصل ۴: شبیه سازی عددی
۲۱	۴-۱ نتایج روش لاگرانژ
۲۳	۴-۲ نتایج روش نیوتن
۳۱	فصل ۵: بخش گرافیکی (انیمیشن)
۳۲	پیوست ۱: ممان های اینرسی و ماتریس های دوران
۳۳	پیوست ۲: کدهای متلب دینامیک لاگرانژی
۳۶	پیوست ۳: کدهای متلب دینامیک نیوتنی
۴۰	پیوست ۴: کدهای متلب کواترنیون ها
۴۶	پیوست ۵: AUGMENTED METHOD
۴۶	- معادلات و قیود حاکم بر سیستم:

## فهرست تصویرها

- شکل ۱: نمونه ماهواره در فضا..... ۱
- شکل ۲: نمونه یک منیپولاتور دو درجه آزادی روی ماهواره..... **Error! Bookmark not defined.**
- شکل ۳: شماتیک کلی دوران ها از دستگاه XYZ به دستگاه بدنی  $x_3y_3z_3$ ..... ۵
- شکل ۴: دوران بدنه در دستگاه XYZ حول محور Z به اندازه  $\psi$ ..... ۵
- شکل ۵: دوران بدنه در دستگاه  $x_1y_1z_1$  حول محور  $y_1$  به اندازه  $\theta$ ..... ۶
- شکل ۶: دوران بدنه در دستگاه  $x_2y_2z_2$  حول محور  $x_2$  به اندازه  $\phi$ ..... ۶
- شکل ۷: شماتیک کلی منیپولاتور سه درجه آزادی..... ۷
- شکل ۸: دوران لینک ۱ در دستگاه  $x_3y_3z_3$  حول محور  $z_3$  به اندازه  $\theta^1$ ..... ۸
- شکل ۹: دوران لینک ۲ در دستگاه  $x_4y_4z_4$  حول محور  $x_4$  به اندازه  $\theta^2$ ..... ۹
- شکل ۱۰: دوران لینک ۳ در دستگاه  $x_5y_5z_5$  حول محور  $x_5$  به اندازه  $\theta^3$ ..... ۱۰

## فهرست نمودارها

- نمودار ۱: تغییر موقعیت مرکز جرم ماهواره در دستگاه مرجع بر حسب زمان..... ۲۱
- نمودار ۲: تغییر وضعیت بدنه ماهواره بر حسب زمان..... ۲۱
- نمودار ۳: تغییر زوایای لینک های ۱ و ۲ و ۳ منیپولاتور بر حسب زمان..... ۲۱
- نمودار ۴: خطای انرژی مکانیکی بر حسب زمان..... ۲۲
- نمودار ۵: درصد تغییر خطای ممتوم خطی کل سیستم بر حسب زمان..... ۲۲
- نمودار ۶: درصد تغییر خطای ممتوم زاویه ای کل سیستم بر حسب زمان..... ۲۲
- نمودار ۷: تغییر موقعیت مرکز جرم ماهواره در دستگاه مرجع بر حسب زمان..... ۲۳
- نمودار ۸: تغییر وضعیت بدنه ماهواره بر حسب زمان..... ۲۳
- نمودار ۹: تغییر زوایای لینک های ۱ و ۲ و ۳ منیپولاتور بر حسب زمان..... ۲۳
- نمودار ۱۰: تغییرات خطای انرژی مکانیکی بر حسب زمان..... ۲۴
- نمودار ۱۱: درصد تغییر خطای ممتوم خطی کل سیستم بر حسب زمان..... ۲۴
- نمودار ۱۲: درصد تغییر خطای ممتوم زاویه ای کل سیستم بر حسب زمان..... ۲۴
- نمودار ۱۳: تغییر موقعیت مرکز جرم ماهواره در دستگاه مرجع بر حسب زمان..... ۲۵
- نمودار ۱۴: تغییر وضعیت بدنه ماهواره بر حسب زمان..... ۲۵
- نمودار ۱۵: تغییر زوایای لینک های ۱ و ۲ و ۳ منیپولاتور بر حسب زمان..... ۲۵
- نمودار ۱۶: خطای انرژی مکانیکی بر حسب زمان..... ۲۶
- نمودار ۱۷: درصد تغییر خطای ممتوم خطی کل سیستم بر حسب زمان..... ۲۶
- نمودار ۱۸: درصد تغییر خطای ممتوم زاویه ای کل سیستم بر حسب زمان..... ۲۶
- نمودار ۱۹: مقایسه  $Xg$  در روش لاگرانژ و نیوتن..... ۲۷
- نمودار ۲۰: مقایسه  $Yg$  در روش لاگرانژ و نیوتن..... ۲۷
- نمودار ۲۱: مقایسه  $Zg$  در روش لاگرانژ و نیوتن..... ۲۷
- نمودار ۲۲: مقایسه  $\psi$  در روش لاگرانژ و نیوتن..... ۲۸
- نمودار ۲۳: مقایسه  $\theta$  در روش لاگرانژ و نیوتن..... ۲۸
- نمودار ۲۴: مقایسه  $\phi$  در روش لاگرانژ و نیوتن..... ۲۸
- نمودار ۲۵: مقایسه  $\theta_1$  در روش لاگرانژ و نیوتن..... ۲۹

نمودار ۲۶: مقایسه  $\theta_2$  در روش لاگرانژ و نیوتن..... ۲۹

نمودار ۲۷: مقایسه  $\theta_3$  در روش لاگرانژ و نیوتن..... ۲۹



## فصل ۱ : مقدمه

---

### ماهواره

---



شکل ۱: نمونه ماهواره در فضا

اهمیت ماهواره‌ها برای مخابرات و بررسی منابع زمینی و پژوهش و کاربردهای نظامی و جاسوسی روزافزون است. بخشی از پژوهش‌های علمی و تخصصی که در آزمایشگاه‌های مستقر در فضا انجام می‌شود، هرگز نمی‌توانست روی کره زمین جنبه عملی به خود گیرد.

نخستین ماهواره فضایی جهان اسپوتنیک-۱ (به معنی همسفر-۱ به زبان روسی) بود که در تاریخ ۱۲ مهر ۱۳۳۶ (۴ اکتبر ۱۹۵۷) به مدار زمین پرتاب شد. پرتاب اسپوتنیک-۱ به مدار زمین آغازگر عصر فضا و مسابقه فضایی شد. از آن زمان، حدود ۶۶۰۰ ماهواره بیش از ۴۰ کشور به وسیله ۱۰ ملت به فضا پرتاب شده‌اند. بنا بر تخمینی مربوط به ۲۰۱۳، ۳۶۰۰ تا در مدار باقی مانده‌اند. از این تعداد حدود ۱۰۰۰ تا فعال بوده‌اند و بقیه، عمر مفیدشان را پشت سر گذاشته و به زباله‌های فضایی تبدیل شده‌اند. تقریباً ۵۰۰ ماهواره عملیاتی در مدار زمین-پایین هستند؛ ۵۰ تا در مدار زمین-متوسط در ۲۰۰۰۰ (km)، و بقیه در مدار زمین-ثابت هستند. در ۳۶۰۰۰ (km) تعداد کمی ماهواره بزرگ در قطعات جداگانه پرتاب و در مدار به

هم متصل شده‌اند. بالغ بر یک دوجین سفینه کاوشگر در مدارات سایر اجرام قرار داده شده و تبدیل به ماهواره‌های مصنوعی ماه، تیر، ناهید، مریخ، برجیس (سیاره)، کیوان، تعدادی سیارک، و خورشید گشته‌اند.

---

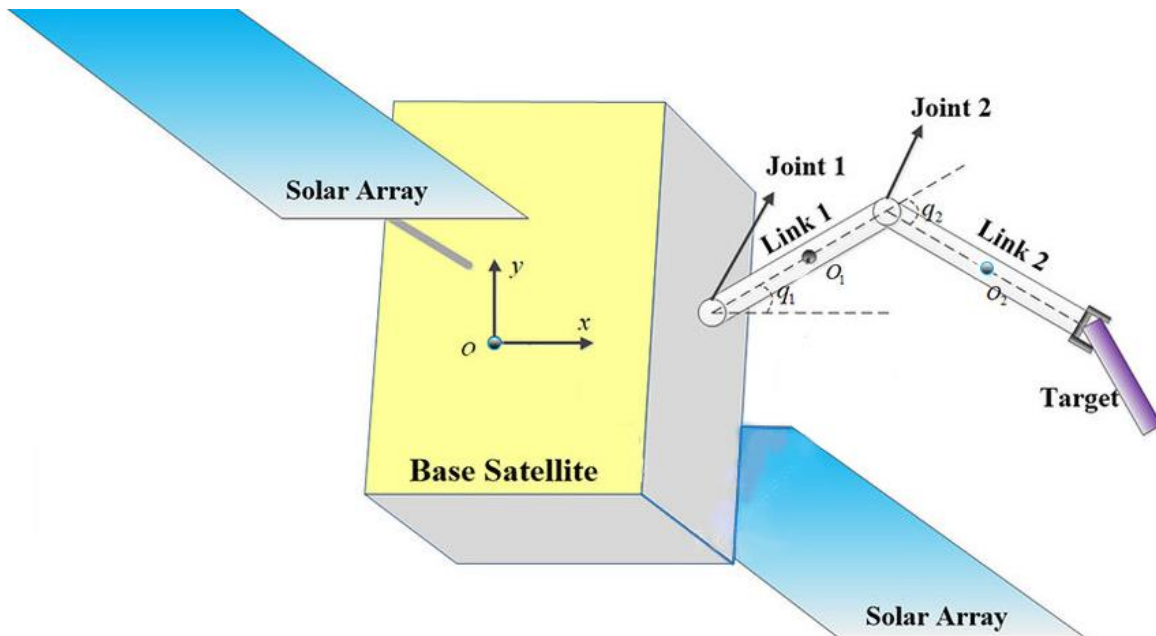
### منیپولاتور ها و کاربرد آن ها

---

در رباتیک ، یک منیپولاتور وسیله ای است که برای دستکاری مواد بدون تماس مستقیم فیزیکی توسط اپراتور مورد استفاده قرار می گیرد. منیپولاتورها در اصل برای مقابله با مواد رادیواکتیو یا بیوشیمی یا در مکان های غیرقابل دسترسی استفاده می شدند. در تحولات اخیر از آنها در طیف های متنوعی از جمله اتوماسیون جوش کاری ، جراحی رباتیک و در فضا استفاده شده است. این مکانیسم بازوی مانند است که از یک سری بخش ها تشکیل شده است ، معمولاً به صورت کشویی یا متصل ، که اشیاء را با درجه ای از آزادی به حرکت در می آورد.

در ارگونومی صنعتی ، یک منیپولاتور وسیله ای برای کمک به کارگران است که در بلند کردن ، مانور دادن ، قرار دادن جعبه ها در مراحل بسیار سنگین ، بیش از حد گرم ، بیش از حد بزرگ یا غیر این حالات، جایی که کار برای یک کارگر بسیار دشوار است که به تنهایی کار می کند. برخلاف کمک های بالابر عمودی (جرثقیل و غیره)، منیپولاتورها تولدایی دسترسی به فضاهای تنگ و حذف قطعات کار را دارند. مثال خوب حذف قطعات بزرگ مهر شده از مطبوعات و قرار دادن آنها در یک قفسه یا یک تپه مشابه است.

## کاربرد منیپولاتورها در ماهواره ها



شکل ۲: نمونه یک منیپولاتور دو درجه آزادی روی ماهواره

ماموریت های فضایی آینده به ساخت ، تعمیر و نگهداری ماهواره ها و ایستگاه های فضایی در فضا نیاز دارد. فناوری فعلی مستلزم این است که این وظایف توسط فضانورد فعالیت اضافی وسیله نقلیه (EVA) انجام شود. پیشنهاد شده است که سیستم های دست ساز رباتی برای انجام بسیاری از کارهایی که در حال حاضر فقط توسط فضانورد EVA می توانند انجام شوند ، توسعه داده شود. از بین بردن نیاز به فضانورد EVA هم هزینه های ماموریت و هم خطرات آن را برای فضانوردان کاهش می دهد. وظایف منیپولاتور رباتیک فضایی معمولی نیاز به کنترل دقیق حرکت کننده دارند متأسفانه ، به دلیل وجود اتصال پویا بین بازوها و فضاپیما ، آن ، کنترل حرکت دستگیرنده دشوار است. با حرکت اسلحه ، آنها نیروهای پویا را بر روی فضاپیما خود اعمال می کنند که باعث حرکت آن می شود. این حرکات فضاپیما می تواند وابسته به توده های نسبی فضاپیما ، منبلیتها و بار آنها باشد. تعامل دینامیکی منیپولاتور و فضاپیما را می توان با جت های کنترل نگرش فضاپیما جبران کرد. محققان به تازگی مطالعاتی در مورد سینماتیک ، دینامیک و کنترل منیپولاتورهای فضایی انجام داده اند که بر روی تأمین فشار این جفت پویا در سیستم هایی که از جت های کنترل نگر استفاده می کنند تمرکز دارند.

## فصل ۲ سینماتیک سیستم

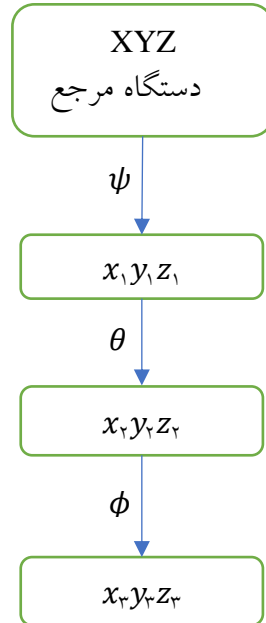
### مقدمه

این سیستم دارای ۹ درجه آزادی می باشد بنابراین به ۹ مولفه مختصات تعمیم یافته برای تعیین موقعیت و وضعیت سیستم نیاز است که مطابق زیر تعریف می گردند:

$$q_1 = X, q_2 = Y, q_3 = Z, q_4 = \psi, q_5 = \theta, q_6 = \phi, q_7 = \theta_1, q_8 = \theta_2, q_9 = \theta_3$$

## ۱-۲ سینماتیک ماهواره

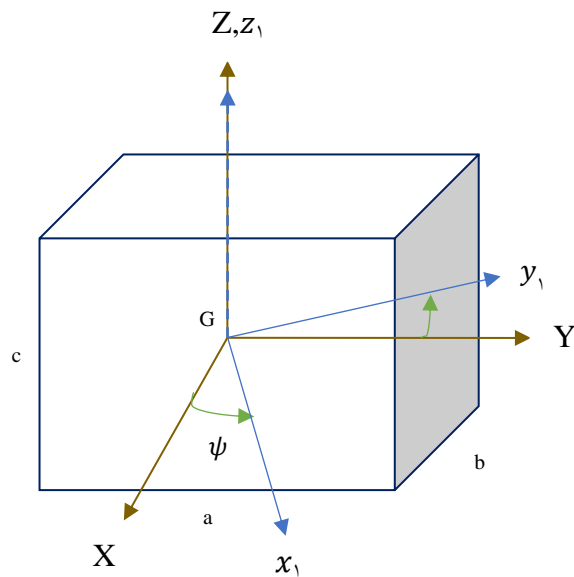
ابتدا دستگاه مختصات های مورد نیاز برای توصیف حرکت بدنه ماهواره مشخص می شوند:



شکل ۳: شماتیک کلی دوران ها از دستگاه XYZ به دستگاه بدنی  $x_3y_3z_3$

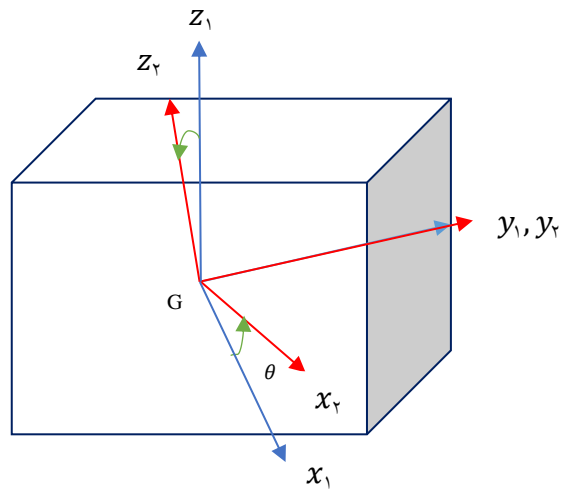
مختصات های مطلوب همراه با دوران آن ها به ترتیب در زیر به نمایش در آمده است.

۱- دوران به اندازه  $\psi$  حول محور Z:



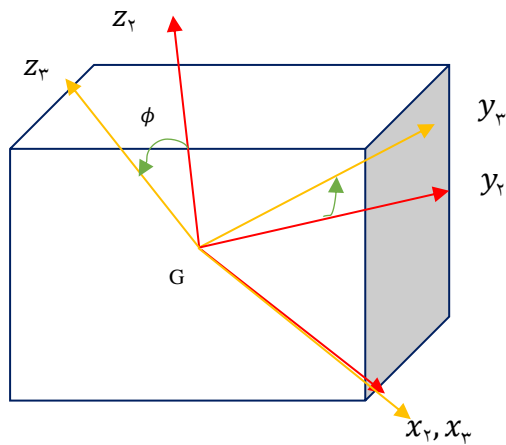
شکل ۴: دوران بدنه در دستگاه XYZ حول محور Z به اندازه  $\psi$

۲- دوران به اندازه  $\theta$  حول محور  $y_1$ :



شکل ۵: دوران بدنه در دستگاه  $x_1 y_1 z_1$  حول محور  $y_1$  به اندازه  $\theta$

۳- دوران به اندازه  $\phi$  حول محور  $x_2$ :



شکل ۶: دوران بدنه در دستگاه  $x_2 y_2 z_2$  حول محور  $x_2$  به اندازه  $\phi$

- موقعیت مرکز جرم ماهواره در دستگاه XYZ  

$$r_{Gsat}^{XYZ} = XI + YJ + ZK$$
- سرعت مرکز جرم ماهواره در دستگاه XYZ  

$$v_{Gsat}^{XYZ} = \dot{X}I + \dot{Y}J + \dot{Z}K$$
- سرعت مرکز جرم ماهواره در دستگاه بدنی ماهواره ( $x_3 y_3 z_3$ )  

$$[R] = [R_{x_2, \phi}][R_{y_1, \theta}][R_{z, \psi}]$$
- شتاب مرکز جرم ماهواره در دستگاه XYZ  

$$v_{Gsat}^{x_3 y_3 z_3} = [R] v_{Gsat}^{XYZ}$$
- شتاب مرکز جرم ماهواره در دستگاه XYZ  

$$a_{Gsat}^{XYZ} = \ddot{X}I + \ddot{Y}J + \ddot{Z}K$$

- شتاب مرکز جرم ماهواره در دستگاه بدنی ماهواره  $(x_r, y_r, z_r)$

$$a_{G_{sat}}^{x_r y_r z_r} = [R] a_{G_{sat}}^{XYZ}$$

- سرعت زاویه ای ماهواره

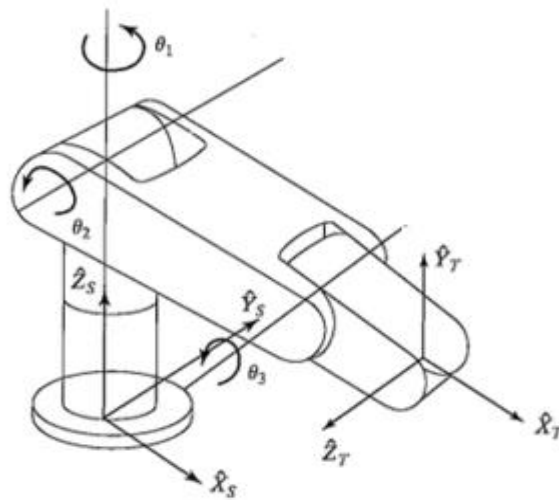
$$\omega_{sat} = \psi K + \dot{\theta} j_1 + \dot{\phi} i_r$$

$$\omega_{sat}^{x_r y_r z_r} = [R_{x_r, \phi}] [R_{y_r, \theta}] [R_{z_r, \psi}] \dot{\psi} K + [R_{x_r, \phi}] [R_{y_r, \theta}] \dot{\theta} j_1 + [R_{x_r, \phi}] \dot{\phi} i_r$$

- سرعت مفصل ۱ در دستگاه بدنی ماهواره  $(x_r, y_r, z_r)$

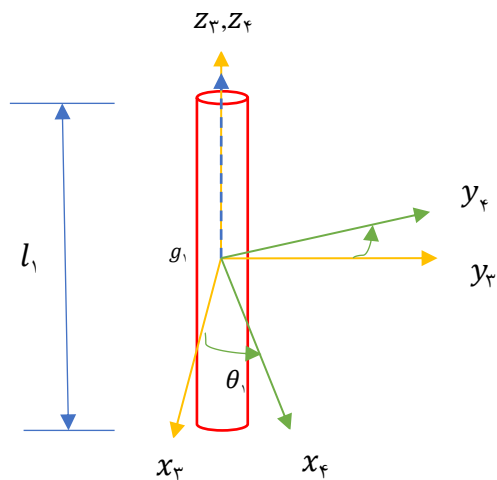
$$v_{joint_1}^{x_r y_r z_r} = v_{G_{sat}}^{x_r y_r z_r} + \omega_{sat}^{x_r y_r z_r} * \frac{r_{joint_1}^{x_r y_r z_r}}{G_{sat}}$$

## ۲-۲ سینماتیک منیپولاتور



شکل ۷: شماتیک کلی منیپولاتور سه درجه آزادی

## ۱-۲-۲ لینک ۱



شکل ۱: دوران لینک ۱ در دستگاه  $x_r y_r z_r$  حول محور  $z_r$  به اندازه  $\theta_1$

- سرعت زاویه ای لینک ۱ در دستگاه  $x_r y_r z_r$

$$\omega_{link_1}^{x_f y_f z_f} = [R_{z_r, \theta_1}] \omega_{sat}^{x_r y_r z_r} + \dot{\theta}_1 k_f$$

- سرعت مرکز جرم لینک ۱ در دستگاه  $x_r y_r z_r$

$$v_{glink_1}^{x_r y_r z_r} = v_{Gsat}^{x_r y_r z_r} + \omega_{sat}^{x_r y_r z_r} * r_{joint_1}^{x_r y_r z_r} / G_{sat}$$

$$v_{glink_1}^{x_f y_f z_f} = [R_{z_r, \theta_1}] v_{glink_1}^{x_r y_r z_r}$$

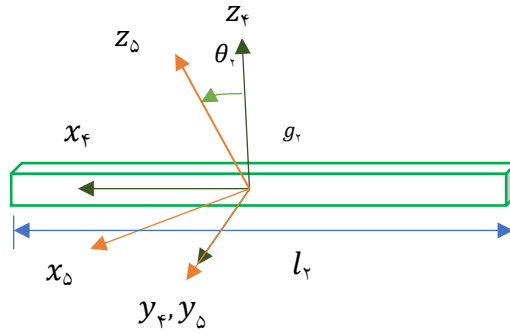
- شتاب مرکز جرم لینک ۱ در دستگاه  $x_r y_r z_r$

$$a_{glink_1}^{x_r y_r z_r} = \frac{\delta v_{glink_1}^{x_r y_r z_r}}{\delta t} + \omega_{link_1}^{x_f y_f z_f} * v_{glink_1}^{x_r y_r z_r}$$

$$a_{glink_1}^{x_f y_f z_f} = [R_{z_r, \theta_1}] a_{glink_1}^{x_r y_r z_r}$$



## ۲-۲-۲ لینک ۲



شکل ۹: دوران لینک ۲ در دستگاه  $x_2 y_2 z_2$  حول محور  $y_2$  به اندازه  $\theta_2$

- سرعت زاویه ای لینک ۲ در دستگاه  $x_2 y_2 z_2$

$$\omega_{link_2}^{x_2 y_2 z_2} = [R_{x_2, \theta_2}] \omega_{link_1}^{x_1 y_1 z_1} + \dot{\theta}_2 j_2$$

- سرعت مرکز جرم لینک ۲ در دستگاه  $x_2 y_2 z_2$

$$v_{glink_2}^{x_2 y_2 z_2} = [R_{x_2, \theta_2}] v_{joint_1}^{x_1 y_1 z_1} + \omega_{link_2}^{x_2 y_2 z_2} * r_{\frac{glink_2}{joint_1}}^{x_2 y_2 z_2}$$

- شتاب مرکز جرم لینک ۲ در دستگاه  $x_2 y_2 z_2$

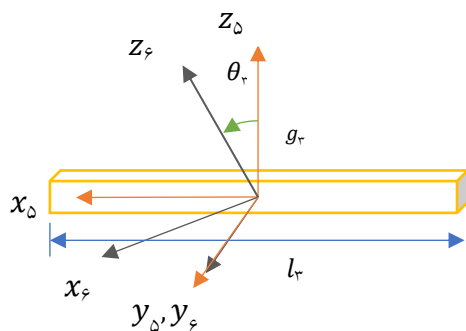
$$a_{glink_2}^{x_2 y_2 z_2} = \frac{\delta v_{glink_2}^{x_2 y_2 z_2}}{\delta t} + \omega_{link_2}^{x_2 y_2 z_2} * v_{glink_2}^{x_2 y_2 z_2}$$

- سرعت مفصل ۲ بر روی لینک ۲ در دستگاه  $x_2 y_2 z_2$

$$v_{joint_2}^{x_2 y_2 z_2} = v_{Gsat}^{x_2 y_2 z_2} + \omega_{sat}^{x_2 y_2 z_2} * r_{\frac{joint_2}{Gsat}}^{x_2 y_2 z_2}$$

$$v_{joint_2}^{x_2 y_2 z_2} = [R_{z_2, \theta_2}] v_{joint_1}^{x_1 y_1 z_1}$$

### ۳-۲-۲-۳ لینک ۳



شکل ۱۰: دوران لینک ۳ در دستگاه  $x_\delta y_\delta z_\delta$  حول محور  $x_\delta$  به اندازه  $\theta_\tau$

- سرعت زاویه ای لینک ۳ در دستگاه  $x_\delta y_\delta z_\delta$

$$\omega_{link_\tau}^{x_\phi y_\phi z_\phi} = [R_{x_\delta, \theta_\tau}] \omega_{link_\tau}^{x_\delta y_\delta z_\delta} + \dot{\theta}_\tau j_\phi$$

- سرعت مرکز جرم لینک ۳ در دستگاه  $x_\delta y_\delta z_\delta$

$$v_{glink_\tau}^{x_\phi y_\phi z_\phi} = [R_{x_\delta, \theta_\tau}] v_{joint_\tau}^{x_\delta y_\delta z_\delta} + \omega_{link_\tau}^{x_\phi y_\phi z_\phi} * r_{glink_\tau}^{x_\phi y_\phi z_\phi}$$

- شتاب مرکز جرم لینک ۳ در دستگاه  $x_\delta y_\delta z_\delta$

$$a_{glink_\tau}^{x_\phi y_\phi z_\phi} = \frac{\delta v_{glink_\tau}^{x_\phi y_\phi z_\phi}}{\delta t} + \omega_{link_\tau}^{x_\phi y_\phi z_\phi} * v_{glink_\tau}^{x_\phi y_\phi z_\phi}$$

- سرعت مفصل ۳ بر روی لینک ۳ در دستگاه  $x_\delta y_\delta z_\delta$

$$v_{joint_\tau}^{x_\delta y_\delta z_\delta} = [R_{x_\tau, \theta_\tau}] v_{joint_\tau}^{x_\tau y_\tau z_\tau} + \omega_{link_\tau}^{x_\phi y_\phi z_\phi} * r_{joint_\tau}^{x_\delta y_\delta z_\delta}$$

## فصل ۳ معادلات دینامیک سیستم

#### مقدمه

در مکانیک لاگرانژی، به خاطر اصل همیلتونی کمترین کنش، تغییرهای یک سیستم فیزیکی با جواب معادله اوایلر-لاگرانژ برای آن رفتار آن سیستم توصیف می‌شود. در مکانیک کلاسیک، این اصل معادل با قانون‌های حرکت نیوتون است، هر چند که این مزیت را دارد که در هر سیستمی با مختصات تعمیم‌یافته، فرم آن تغییر نمی‌کند و در نتیجه برای تعمیم دادن بسیار مناسب‌تر است.

#### انرژی جنبشی اجزا سیستم

- بدنه ماهواره

$$T_{sat} = \frac{1}{2} M_s \{v_{G_{sat}}^{x_r y_r z_r}\}^T \{v_{G_{sat}}^{x_r y_r z_r}\} + \frac{1}{2} \{\omega_{sat}^{x_r y_r z_r}\}^T [I_{G_{sat}}^{x_r y_r z_r}] \{\omega_{sat}^{x_r y_r z_r}\}$$

- لینک ۱

$$T_{link_1} = \frac{1}{2} m_1 \{v_{g_{link_1}}^{x_r y_r z_r}\}^T \{v_{g_{link_1}}^{x_r y_r z_r}\} + \frac{1}{2} \{\omega_{link_1}^{x_r y_r z_r}\}^T [I_{link_1}^{x_r y_r z_r}] \{\omega_{link_1}^{x_r y_r z_r}\}$$

- لینک ۲

$$T_{link_r} = \frac{1}{2} m_r \{v_{g_{link_r}}^{x_\delta y_\delta z_\delta}\}^T \{v_{g_{link_r}}^{x_\delta y_\delta z_\delta}\} + \frac{1}{2} \{\omega_{link_r}^{x_\delta y_\delta z_\delta}\}^T [I_{link_r}^{x_\delta y_\delta z_\delta}] \{\omega_{link_r}^{x_\delta y_\delta z_\delta}\}$$

- لینک ۳

$$T_{link_r} = \frac{1}{2} m_r \{v_{g_{link_r}}^{x_\phi y_\phi z_\phi}\}^T \{v_{g_{link_r}}^{x_\phi y_\phi z_\phi}\} + \frac{1}{2} \{\omega_{link_r}^{x_\phi y_\phi z_\phi}\}^T [I_{link_r}^{x_\phi y_\phi z_\phi}] \{\omega_{link_r}^{x_\phi y_\phi z_\phi}\}$$

- انرژی جنبشی کل سیستم

$$T = T_{sat} + T_{link_1} + T_{link_2} + T_{link_3}$$

- انرژی پتانسیل

به دلیل فاصله زیاد ماهواره نسبت به زمین این سیستم نمی تواند اثر گرانش زمین را حس کند بنابراین هیچ گونه انرژی پتانسیل گرانشی در سیستم وجود ندارد همچنین به دلیل عدم وجود ذخیره کننده انرژی در سیستم مثل فنر مکانیکی انرژی پتانسیل کشسانی نیز وجود ندارد، بنابراین انرژی پتانسیل کل سیستم صفر فرض می گردد.

$$V = 0$$

- نیروهای تعمیم یافته

$$\delta W = f_x \delta X + f_y \delta Y + f_z \delta Z + \tau_1 (\delta \theta_1 - \delta \phi) + \tau_2 \delta \theta_2 + \tau_3 (\delta \theta_3 - \delta \theta_2)$$

$$Q_x = f_x, Q_y = f_y, Q_z = f_z$$

$$Q_\psi = 0, Q_\theta = 0, Q_\phi = -\tau_1$$

$$Q_{\theta_1} = \tau_1, Q_{\theta_2} = \tau_2 - \tau_3, Q_{\theta_3} = \tau_3$$

بنابراین بردار نیروهای تعمیم یافته از رابطه زیر محاسبه می شود:

$$Q = \{f_x, f_y, f_z, 0, 0, -\tau_1, \tau_1, \tau_2 - \tau_3, \tau_3\}^T$$

- لاگرانژین

$$L = T - V$$

- فرم کلی معادلات لاگرانژ غیرمقید

$$\frac{d}{dt} \left( \frac{\partial L}{\partial \dot{q}} \right) - \frac{\partial L}{\partial q} = \{Q_i\}$$

$$[M]\{\ddot{q}\} + \{B\} = \{Q\}$$

- مشتق مرتبه دوم مختصات های تعمیم یافته

$$\{\ddot{q}\} = [M]^{-1} \{-B + Q\}$$

## ۲-۳ روش نیوتن

۱-۲-۳ ممتوم زاویه ای نسبت به مرکز جرم اجزاء و نرخ تغییرات آن ها

- ممتوم زاویه ای بدنه و نرخ تغییرات آن

$$H_{G_{sat}}^{x_r y_r z_r} = [I_{G_{sat}}^{x_r y_r z_r}] \{ \omega_{sat}^{x_r y_r z_r} \}$$

$$\dot{H}_{G_{sat}}^{x_r y_r z_r} = \frac{\delta H_{G_{sat}}^{x_r y_r z_r}}{\delta t} + \omega_{sat}^{x_r y_r z_r} * H_{G_{sat}}^{x_r y_r z_r}$$

- ممتوم زاویه لینک ۱ و نرخ تغییرات آن

$$H_{g_{link_1}}^{x_f y_f z_f} = [I_{link_1}^{x_f y_f z_f}] \{ \omega_{link_1}^{x_f y_f z_f} \}$$

$$\dot{H}_{g_{link_1}}^{x_f y_f z_f} = \frac{\delta H_{g_{link_1}}^{x_f y_f z_f}}{\delta t} + \omega_{link_1}^{x_f y_f z_f} * H_{g_{link_1}}^{x_f y_f z_f}$$

- ممتوم زاویه لینک ۲ و نرخ تغییرات آن

$$H_{g_{link_2}}^{x_\delta y_\delta z_\delta} = [I_{link_2}^{x_\delta y_\delta z_\delta}] \{ \omega_{link_2}^{x_\delta y_\delta z_\delta} \}$$

$$\dot{H}_{g_{link_2}}^{x_\delta y_\delta z_\delta} = \frac{\delta H_{g_{link_2}}^{x_\delta y_\delta z_\delta}}{\delta t} + \omega_{link_2}^{x_\delta y_\delta z_\delta} * H_{g_{link_2}}^{x_\delta y_\delta z_\delta}$$

- ممتوم زاویه لینک ۳ و نرخ تغییرات آن

$$H_{g_{link_3}}^{x_\varphi y_\varphi z_\varphi} = [I_{link_3}^{x_\varphi y_\varphi z_\varphi}] \{ \omega_{link_3}^{x_\varphi y_\varphi z_\varphi} \}$$

$$\dot{H}_{g_{link_3}}^{x_\varphi y_\varphi z_\varphi} = \frac{\delta H_{g_{link_3}}^{x_\varphi y_\varphi z_\varphi}}{\delta t} + \omega_{link_3}^{x_\varphi y_\varphi z_\varphi} * H_{g_{link_3}}^{x_\varphi y_\varphi z_\varphi}$$

## ۲-۲-۳ معادلات حاکم بر سیستم بر اساس قانون دوم نیوتن

۱-برآیند حاصلضرب جرم و شتاب های وارد بر اجزاء سیستم برابر برآیند نیروهای خارجی وارد بر

سیستم خواهد بود:

$$F_{ext} = [f_x \quad f_y \quad f_z]^T$$

$$f_{ext}^{x_r y_r z_r} = [R]\{F_{ext}\}$$

$$\sum F_{ext}^{x_r y_r z_r} = \sum_{i=1}^4 m_i a_i^{x_r y_r z_r} =$$

$$M_s a_{G_{sat}}^{x_r y_r z_r} + m_1 a_{link_1}^{x_r y_r z_r} + m_r a_{link_r}^{x_r y_r z_r} + m_r a_{link_r}^{x_r y_r z_r} = f_{ext}^{x_r y_r z_r}$$

۲- همچنین به دلیل اینکه هیچ گونه گشتاور خارجی وارد بر سیستم وجود ندارد رابطه زیر نیز برقرار

است:

$$\begin{aligned} \sum \tau_{ext_{G_{sat}}}^{x_r y_r z_r} &= \sum_{i=1}^4 \dot{H}_{g_i}^{x_r y_r z_r} + r_{g_i} * m_i a_{g_i}^{x_r y_r z_r} = \dot{H}_{g_{link_r}}^{x_r y_r z_r} + r_{g_{link_r}}^{x_r y_r z_r} * m_r a_{g_{link_r}}^{x_r y_r z_r} + \\ &\quad \dot{H}_{g_{link_r}}^{x_r y_r z_r} + r_{g_{link_r}}^{x_r y_r z_r} * m_r a_{g_{link_r}}^{x_r y_r z_r} + \dot{H}_{g_{link_1}}^{x_r y_r z_r} + r_{g_{link_1}}^{x_r y_r z_r} * m_1 a_{g_{link_1}}^{x_r y_r z_r} + \dot{H}_{G_{sat}}^{x_r y_r z_r} \\ &= \tau_1 k_r + \tau_r j_r + \tau_r j_\delta \end{aligned}$$

۳- برآند گشتاورهای خارجی وارد بر لینک ۳ حول مفصل ۳ در جهت  $x_\delta$  صفر می باشد بنابراین؛

$$\sum \tau_{ext_{joint_r}}^{x_\delta y_\delta z_\delta} = \dot{H}_{g_{link_r}}^{x_\delta y_\delta z_\delta} + r_{g_{link_r}}^{x_\delta y_\delta z_\delta} * m_r a_{g_{link_r}}^{x_\delta y_\delta z_\delta}$$

$$\sum \tau_{ext_{joint_r}}^{x_\delta y_\delta z_\delta} \cdot j_\delta = \tau_r$$

۴- برآند گشتاورهای خارجی وارد بر هر دو لینک ۲ و ۳ حول مفصل ۲ در جهت  $x_\delta$  صفر می باشد

بنابراین؛

$$\begin{aligned} \sum \tau_{ext_{joint_r}}^{x_\delta y_\delta z_\delta} &= \dot{H}_{g_{link_r}}^{x_\delta y_\delta z_\delta} + r_{g_{link_r}}^{x_\delta y_\delta z_\delta} * m_r a_{g_{link_r}}^{x_\delta y_\delta z_\delta} + \\ &\quad \dot{H}_{g_{link_r}}^{x_\delta y_\delta z_\delta} + r_{g_{link_r}}^{x_\delta y_\delta z_\delta} * m_r a_{g_{link_r}}^{x_\delta y_\delta z_\delta} \end{aligned}$$

$$\sum \tau_{ext_{joint_r}}^{x_\delta y_\delta z_\delta} \cdot j_\delta = \tau_r$$

۵- برآند گشتاورهای خارجی وارد بر هر سه لینک ۱ و ۲ و ۳ حول مفصل ۱ در جهت  $z_r$  صفر می باشد

بنابراین؛

$$\begin{aligned} \sum \tau_{ext_{joint_1}}^{x_r y_r z_r} &= \dot{H}_{g_{link_r}}^{x_r y_r z_r} + r_{g_{link_r}}^{x_r y_r z_r} * m_r a_{g_{link_r}}^{x_r y_r z_r} + \\ &\quad \dot{H}_{g_{link_r}}^{x_r y_r z_r} + r_{g_{link_r}}^{x_r y_r z_r} * m_r a_{g_{link_r}}^{x_r y_r z_r} + \\ &\quad \dot{H}_{g_{link_1}}^{x_r y_r z_r} + r_{g_{link_1}}^{x_r y_r z_r} * m_1 a_{g_{link_1}}^{x_r y_r z_r} \end{aligned}$$

$$\sum \tau_{ext_{joint_1}}^{x_r y_r z_r} . k_r = \tau_1$$

قسمت های ۱ و ۲ هر کدام دارای ۳ معادله می باشند و قسمت های ۳ و ۴ و ۵ نیز هر کدام دارای ۱ معادله که در کل ۹ معادله و ۹ مجهول معادله حل می گردد.  
در نهایت هم معادلات لاگرانژ و هم معادلات نیوتنی به فرم کلی زیر در می آیند:

$$\{\ddot{q}\}_{9 \times 1} = -[M]_{9 \times 9} \{B\}_{9 \times 1}$$

## کواترنيون ها

### مقدمه

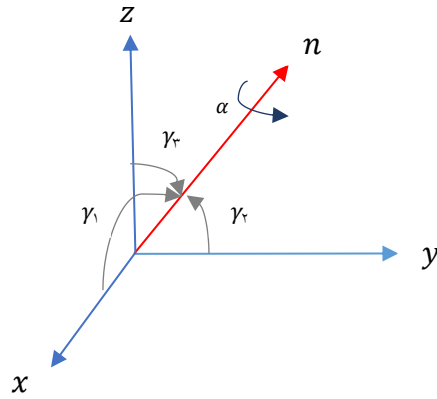
در علم ریاضیات، کواترنيون ها یا چهارگان ها (Quaternions) یک دستگاه عددنویسی برای بسط اعداد مختلط هستند. آنها اولین بار توسط ریاضی دان ایرلندی، ویلیام همیلتون، در سال ۱۸۴۳ معرفی و در حوزه مکانیک در فضای سه بعدی به کار گرفته شدند. یکی از ویژگی های کواترنيون ها این است که ضرب دو کواترنيون خاصیت جابه جایی ندارد. همیلتون، یک کواترنيون را به صورت خارج قسمت دو خط جهت دار در یک فضای سه بعدی، و یا معادل آن، یعنی خارج قسمت دو بردار تعریف کرده است.

کواترنيون ها هم در ریاضیات نظری و هم کاربردی، به خصوص برای محاسباتی که شامل چرخش سه بعدی هستند همچون گرافیک کامپیوتری سه بعدی، بینایی کامپیوتر و تحلیل بافت کریستالوگرافی، به کار می روند. در کاربردهای عملی، از کواترنيون ها می توان در کنار سایر روش ها همچون زاویه اوپلر و ماتریس دوران استفاده کرد و یا گاهی به جای آن ها به کار برد.



استخراج سینماتیک اجزاء سیستم با استفاده از کواترنیون ها

بر اساس قضیه اوایلر هر دوران در فضا را می توان به صورت دوران به اندازه مشخص (Principle Angle) حول محور خاص (Principle Line) انجام داد.



$$n = (\cos\gamma_l, \cos\gamma_r, \cos\gamma_z) = (c_l, c_r, c_z)$$

که مقدار زاویه و بردار مذکور از روابط زیر محاسبه می شوند:

$$2\cos\alpha + 1 = \text{trace}([R])$$

$$[R] \begin{Bmatrix} c_l \\ c_r \\ c_z \end{Bmatrix} = \lambda \begin{Bmatrix} c_l \\ c_r \\ c_z \end{Bmatrix}$$

چهارگان ها نیز مطابق زیر قابل تعریف اند و قید زیر نیز باید برقرار باشد.

$$\begin{cases} e_z = \cos\left(\frac{\alpha}{\gamma}\right) \\ e_l = c_l \sin\left(\frac{\alpha}{\gamma}\right) \\ e_r = c_r \sin\left(\frac{\alpha}{\gamma}\right) \\ e_z = c_z \sin\left(\frac{\alpha}{\gamma}\right) \end{cases}, e_z^2 + e_l^2 + e_r^2 + e_z^2 = 1$$

ماتریس دوران در استاندارد اوایلری (ZYX)، از طریق زیر محاسبه می شود:

$$[R] = \begin{bmatrix} e_z^2 + e_l^2 - e_r^2 - e_z^2 & 2(e_l e_r + e_z e_z) & 2(e_l e_z - e_z e_r) \\ 2(e_l e_z - e_z e_r) & e_z^2 - e_l^2 + e_r^2 - e_z^2 & 2(e_r e_z + e_z e_l) \\ 2(e_l e_r + e_z e_z) & 2(e_r e_z - e_z e_l) & e_z^2 - e_l^2 - e_r^2 + e_z^2 \end{bmatrix} *$$

بنابراین می توان به جای سه زاویه  $(\psi\theta\phi)$  از چهارگان زیر همراه با قید متناظر استفاده

کرد:

$$q = \{e_z, e_l, e_r, e_z\}^T$$

$$qq^T = e_z^2 + e_l^2 + e_r^2 + e_z^2 = 1$$

محاسبه سرعت های زاویه ای با استفاده از چهارگان ها (کوآترینیون ها)

رابطه بین چهارگان ها و مشتقات چهارگان ها به صورت زیر بیان می شود:

$$\dot{q} = \frac{1}{4} [\omega] q$$

ماتریس  $\omega$  از رابطه زیر به دست می آید:

$$[\omega] = \begin{bmatrix} 0 & -\omega_1 & -\omega_2 & -\omega_3 \\ \omega_1 & 0 & \omega_3 & -\omega_2 \\ \omega_2 & -\omega_3 & 0 & \omega_1 \\ \omega_3 & \omega_2 & -\omega_1 & 0 \end{bmatrix}$$

همچنین با توجه به رابطه بالا می توان سرعت های زاویه ای را به صورت تابعی از چهارگان ها و مشتقات آن ها بیان نمود:

$$\dot{q} = \frac{1}{4} [\Omega] \{\omega\}$$

$$[\Omega]^T = \begin{bmatrix} -e_1 & e_1 & e_3 & -e_2 \\ -e_2 & -e_3 & e_1 & e_1 \\ -e_3 & e_2 & e_1 & e_1 \end{bmatrix}, \{\omega\} = \begin{pmatrix} \omega_1 \\ \omega_2 \\ \omega_3 \end{pmatrix}$$

حال براساس روش لاگرانژ معادلات سیستم به صورت مقید بیان می شوند برای حل معادلات چهار روش متداول وجود دارد که برای نمونه با استفاده از روش AUGMENTED METHOD که در پیوست ۵ به آن اشاره شده است به ادامه حل پرداخته میشود.

- مختصات تعمیم یافته جدید

$$q = \{X_g, Y_g, Z_g, e_1, e_2, e_3, \theta_1, \theta_2, \theta_3\}$$

- کارمجازی

$$\delta W = f_X \delta X + f_Y \delta Y + f_Z \delta Z + \tau_1 (\delta \theta_1 - (\delta e_1 + \delta e_2)) + \tau_2 \delta \theta_2 + \tau_3 (\delta \theta_3 - \delta \theta_2)$$

$$Q_X = f_X, Q_Y = f_Y, Q_Z = f_Z$$

$$Q_{e_1} = -\tau_1, Q_{e_2} = -\tau_1, Q_{e_3} = 0, Q_{e_4} = 0$$

$$Q_{\theta_1} = \tau_1, Q_{\theta_2} = \tau_2 - \tau_3, Q_{\theta_3} = \tau_3$$

بنابراین بردار نیروهای تعمیم یافته از رابطه زیر محاسبه می شود:

$$Q = \{f_X, f_Y, f_Z, -\tau_1, -\tau_1, 0, 0, \tau_1, \tau_2 - \tau_3, \tau_3\}^T$$

- معادلات قید

برای اینکه اثر قید در معادلات دیده شود باید از آن نسبت به زمان دو مرتبه مشتق گرفته شود:

$$e_1^2 + e_2^2 + e_3^2 + e_4^2 = 1 \rightarrow e_1 \dot{e}_1 + e_2 \dot{e}_2 + e_3 \dot{e}_3 + e_4 \dot{e}_4 = 0 \rightarrow$$

$$e_1 \ddot{e}_1 + e_2 \ddot{e}_2 + e_3 \ddot{e}_3 + e_4 \ddot{e}_4 + \dot{e}_1^2 + \dot{e}_2^2 + \dot{e}_3^2 + \dot{e}_4^2 = 0 \rightarrow$$

$$[\begin{smallmatrix} 0 & 0 & 0 & 0 \\ 0 & 0 & 0 & 0 \\ 0 & 0 & 0 & 0 \\ 0 & 0 & 0 & 0 \end{smallmatrix} e_1 \ e_2 \ e_3 \ e_4 \begin{smallmatrix} 0 & 0 & 0 & 0 \\ 0 & 0 & 0 & 0 \\ 0 & 0 & 0 & 0 \\ 0 & 0 & 0 & 0 \end{smallmatrix}] \{\ddot{q}\}_{1 \times 1} + [\begin{smallmatrix} 0 & 0 & 0 & 0 \\ 0 & 0 & 0 & 0 \\ 0 & 0 & 0 & 0 \\ 0 & 0 & 0 & 0 \end{smallmatrix} \dot{e}_1 \ \dot{e}_2 \ \dot{e}_3 \ \dot{e}_4 \begin{smallmatrix} 0 & 0 & 0 & 0 \\ 0 & 0 & 0 & 0 \\ 0 & 0 & 0 & 0 \\ 0 & 0 & 0 & 0 \end{smallmatrix}] \{\dot{q}\}_{1 \times 1} = 0$$

بنابراین ماتریس **a** به صورت زیر فرض می شود.

$$[a] = [\begin{smallmatrix} 0 & 0 & 0 & 0 \\ 0 & 0 & 0 & 0 \\ 0 & 0 & 0 & 0 \\ 0 & 0 & 0 & 0 \end{smallmatrix} e_1 \ e_2 \ e_3 \ e_4 \begin{smallmatrix} 0 & 0 & 0 & 0 \\ 0 & 0 & 0 & 0 \\ 0 & 0 & 0 & 0 \\ 0 & 0 & 0 & 0 \end{smallmatrix}]$$

- معادلات مقید حاکم بر سیستم:

$$\begin{cases} [M]_{1 \times 1} \{\ddot{q}\}_{1 \times 1} = \{F\}_{1 \times 1} + [a]_{1 \times 1}^T \lambda_1 \\ -[a]_{1 \times 1} \{\ddot{q}\}_{1 \times 1} = [\dot{a}]_{1 \times 1} \{\dot{q}\}_{1 \times 1} + \{\dot{b}\}_{1 \times 1} \end{cases}$$

- مشتقات اول و دوم مختصات های تعمیم یافته:

$$\{\dot{Z}\} = \begin{Bmatrix} \{\dot{q}\}_{1 \times 1} \\ \{\ddot{q}\}_{1 \times 1} \end{Bmatrix}$$

$$\{F\}_{1 \times 1} = -\{B\} + \{Q\}$$

- فرم ماتریسی معادلات همراه با قیود:

$$\begin{bmatrix} [M]_{1 \times 1} & -[a]_{1 \times 1}^T \\ -[a]_{1 \times 1}^T & [0]_{1 \times 1} \end{bmatrix} \begin{bmatrix} \{\ddot{q}\}_{1 \times 1} \\ \lambda_1 \end{bmatrix} = \begin{bmatrix} \{F\}_{1 \times 1} \\ [\dot{a}]_{1 \times 1} \{\dot{q}\}_{1 \times 1} + \{\dot{b}\}_{1 \times 1} \end{bmatrix}$$

- فرم ساده شده ماتریسی:

$$[M_{Aug}] \begin{bmatrix} \{\ddot{q}\}_{1 \times 1} \\ \lambda_1 \end{bmatrix} = \{F_{Aug}\} \rightarrow \begin{bmatrix} \{\ddot{q}\}_{1 \times 1} \\ \lambda_1 \end{bmatrix} = [M_{Aug}] \setminus \{F_{Aug}\}$$

$$[M_{Aug}] = \begin{bmatrix} [M]_{1 \times 1} & -[a]_{1 \times 1}^T \\ -[a]_{1 \times 1}^T & [0]_{1 \times 1} \end{bmatrix} \setminus \{F_{Aug}\} = \begin{bmatrix} \{F\}_{1 \times 1} \\ [\dot{a}]_{1 \times 1} \{\dot{q}\}_{1 \times 1} + \{\dot{b}\}_{1 \times 1} \end{bmatrix}$$

## فصل ۴ شبیه سازی عددی

### مقدمه

برای شبیه سازی معادلات از نرم افزار متلب استفاده شد و نتایج شبیه سازی به رای هر سه روش لاگرانژ ، نیوتن و کواترنیون ها به ازای شرط اولیه،  
موقعیت و وضعیت اولیه:

$$\begin{aligned} X_0 &= 0, Y_0 = 0, Z_0 = 0 \\ \psi_0 &= 0, \theta_0 = 0, \phi_0 = 0 \\ \theta_{1,0} &= 0, \theta_{2,0} = 0, \theta_{3,0} = 0 \end{aligned}$$

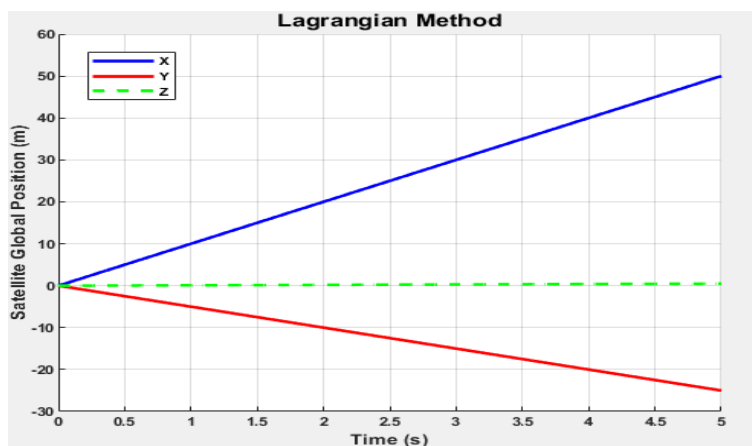
سرعت خطی و زاویه ای اولیه:

$$\begin{aligned} \dot{X}_0 &= 10, \dot{Y}_0 = -5, \dot{Z}_0 = 0.1 \\ \dot{\psi}_0 &= 0.2, \dot{\theta}_0 = 0.1, \dot{\phi}_0 = 0 \\ \dot{\theta}_{1,0} &= 0, \dot{\theta}_{2,0} = 0, \dot{\theta}_{3,0} = 0 \end{aligned}$$

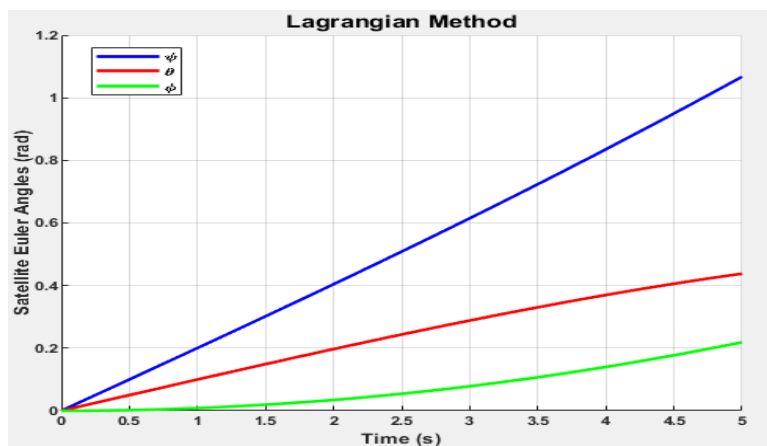
و در حالتی که گشتاور ورودی موتور ها و همچنین نیروها و گشتاورهای خارجی صفر در نظر گرفته شد (حالت آزاد سیستم فقط با شرط اولیه مدنظر می باشد).

$$\begin{aligned} f_X &= 0, f_Y = 0, f_Z = 0 \\ \tau_1 &= 0, \tau_2 = 0, \tau_3 = 0 \end{aligned}$$

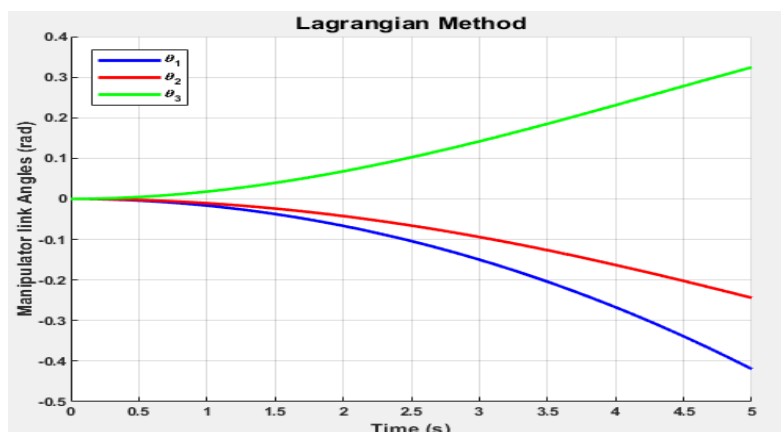
## ۱-۴ نتایج روش لاگرانژ



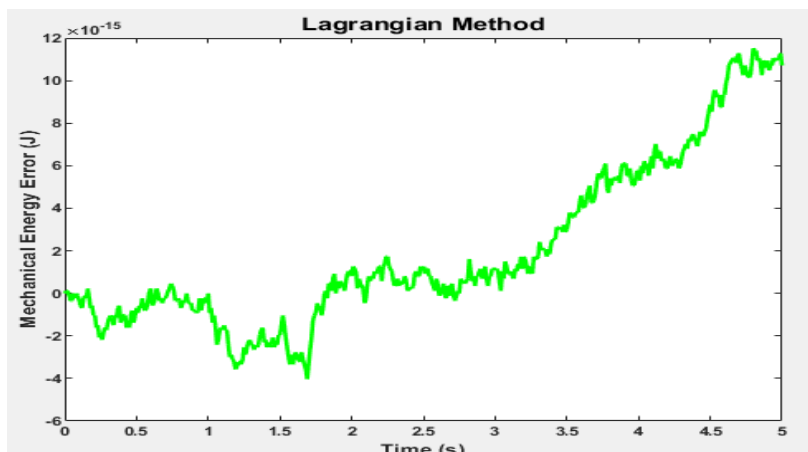
نمودار ۱: تغییر موقعیت مرکز جرم ماهواره در دستگاه مرجع بر حسب زمان



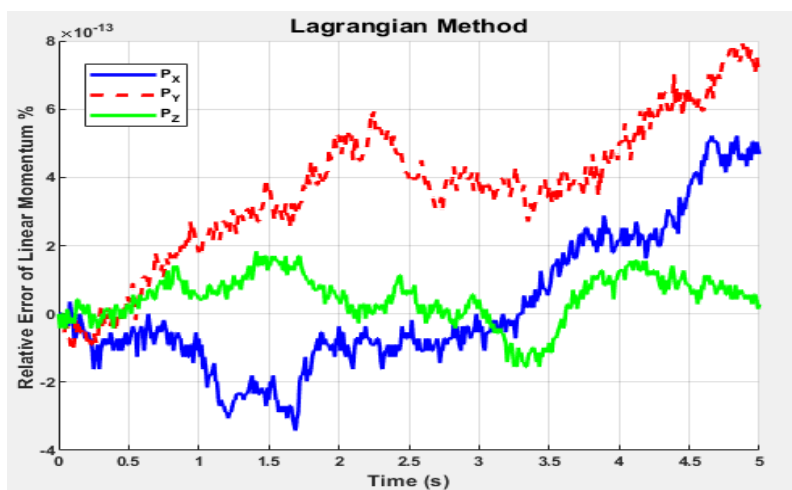
نمودار ۲: تغییر وضعیت بدنه ماهواره بر حسب زمان



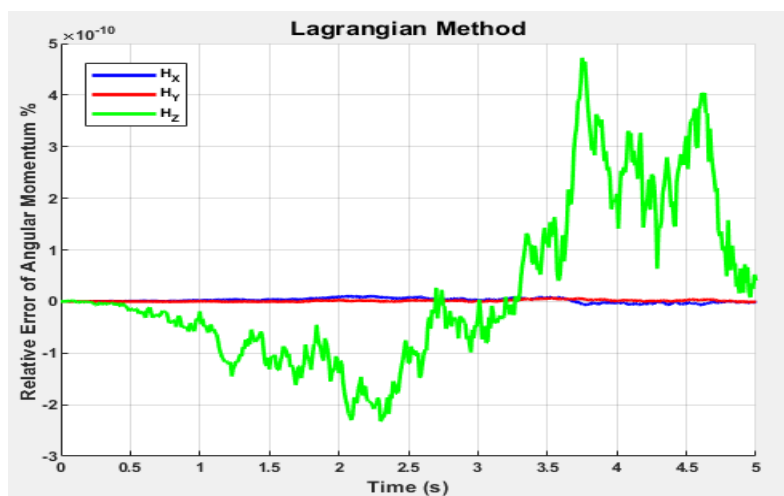
نمودار ۳: تغییر زوایای لینک های ۱ و ۲ و ۳ مانیپولاتور بر حسب زمان



نمودار ۴: خطای انرژی مکانیکی بر حسب زمان

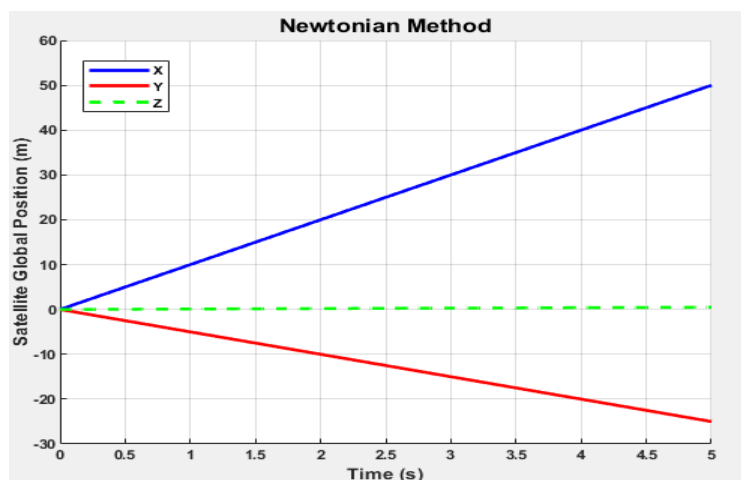


نمودار ۵: درصد تغییر خطای ممنتوم خطی کل سیستم بر حسب زمان

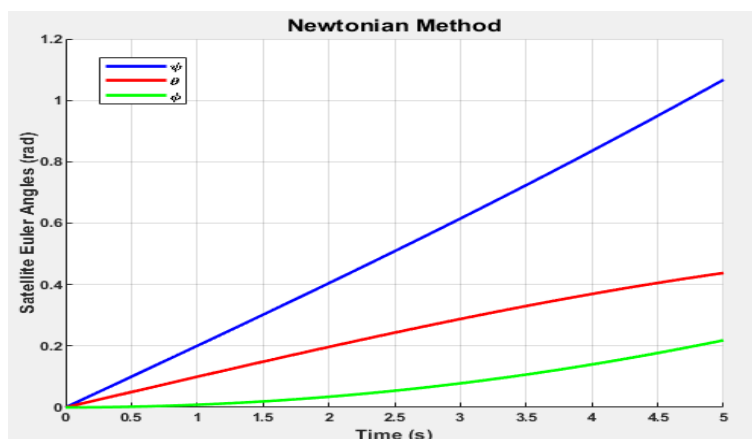


نمودار ۶: درصد تغییر خطای ممنتوم زاویه ای کل سیستم بر حسب زمان

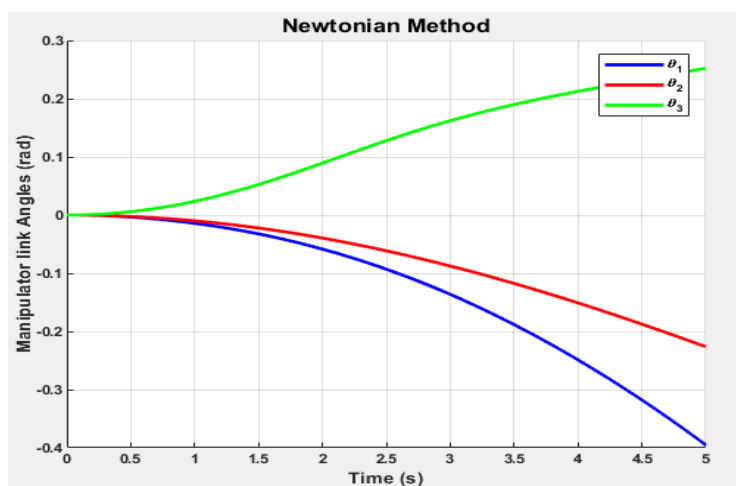
## ۲-۴ نتایج روش نیوتن



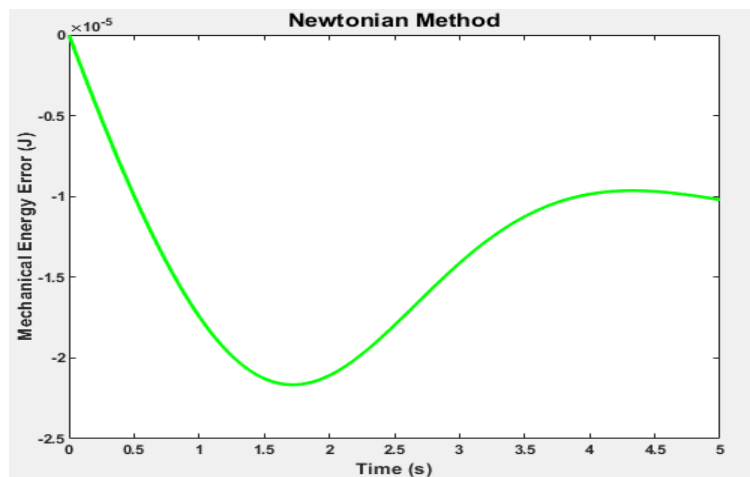
نمودار ۷: تغییر موقعیت مرکز جرم ماهواره در دستگاه مرجع بر حسب زمان



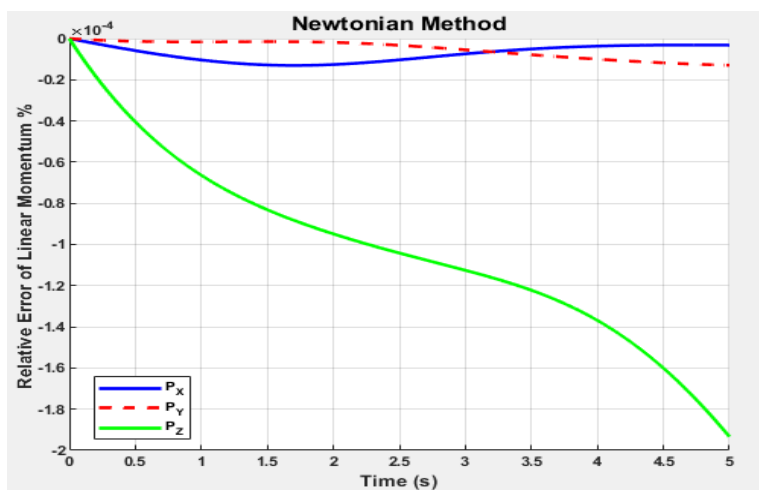
نمودار ۸: تغییر وضعیت بدنه ماهواره بر حسب زمان



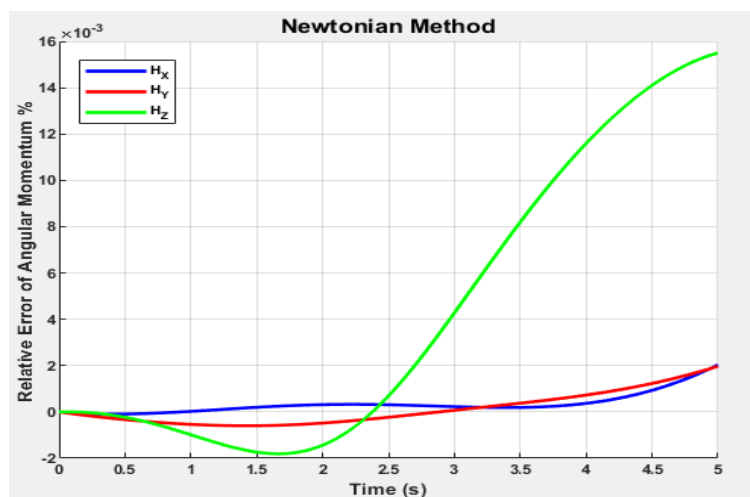
نمودار ۹: تغییر زوایای لینک های ۱ و ۲ و ۳ مانیپولاتور بر حسب زمان



نمودار ۱۰: تغییرات خطای انرژی مکانیکی بر حسب زمان



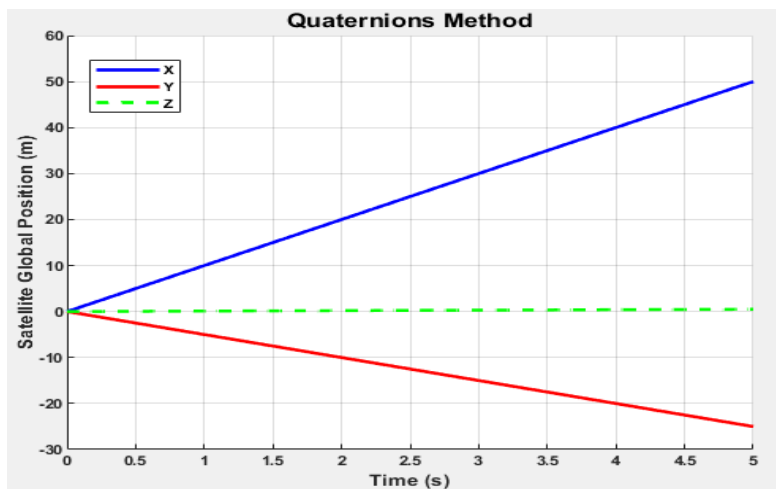
نمودار ۱۱: درصد تغییر خطای ممنتوم خطی کل سیستم بر حسب زمان



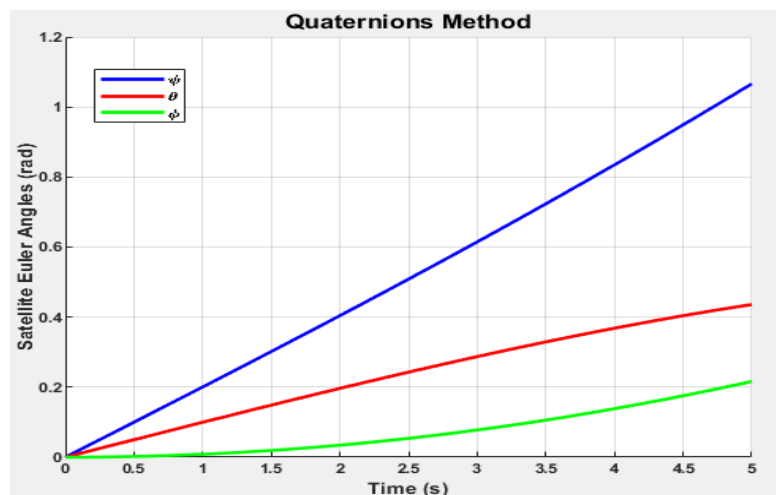
نمودار ۱۲: درصد تغییر خطای ممنتوم زاویه ای کل سیستم بر حسب زمان



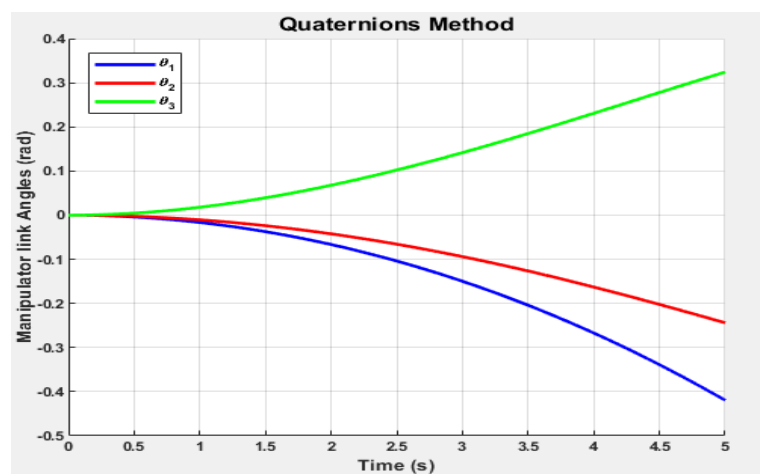
### ۳-۴ نتایج روش لاگرانژ با استفاده از کواترنيون ها



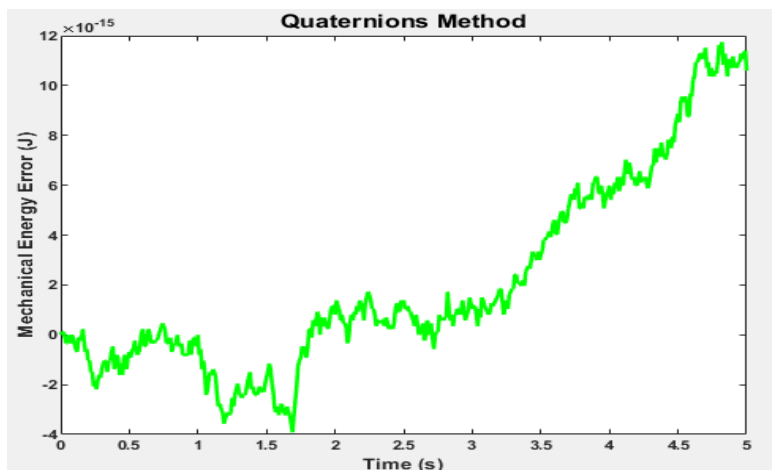
نمودار ۱۳: تغییر موقعیت مرکز جرم ماهواره در دستگاه مرجع برحسب زمان



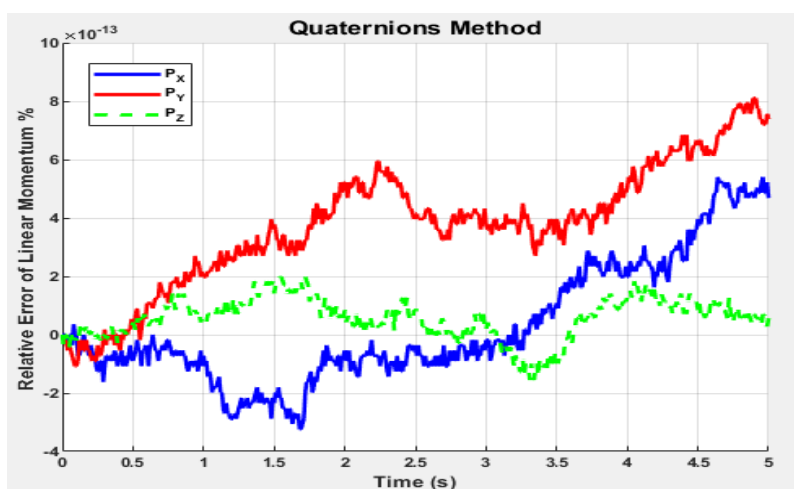
نمودار ۱۴: تغییر وضعیت بدنه ماهواره برحسب زمان



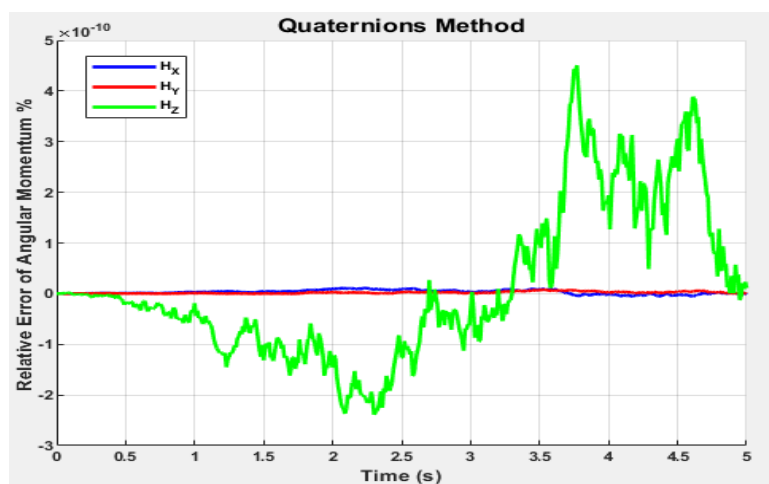
نمودار ۱۵: تغییر زوایای لینک های ۱ و ۲ و ۳ مانیپولاتور برحسب زمان



نمودار ۱۶: خطای انرژی مکانیکی بر حسب زمان



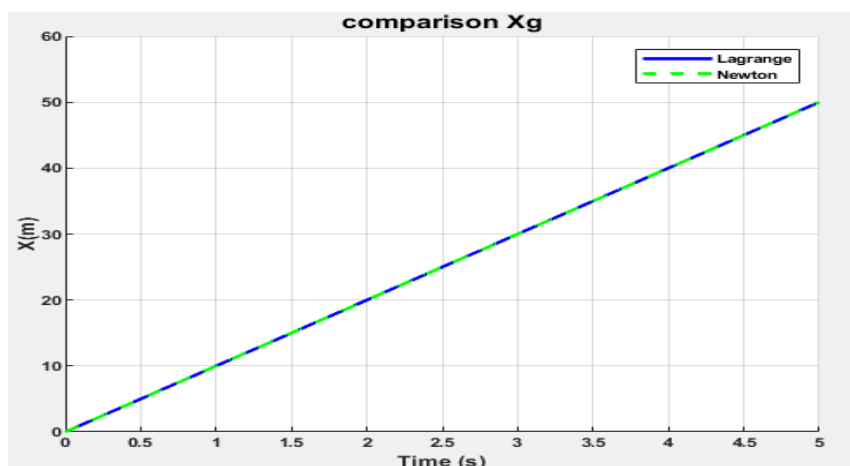
نمودار ۱۷: درصد تغییر خطای ممتوم خطی کل سیستم بر حسب زمان



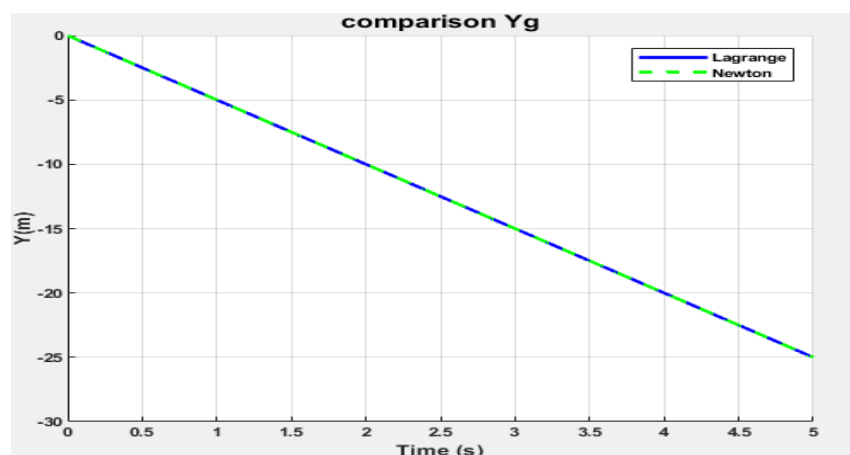
نمودار ۱۸: درصد تغییر خطای ممتوم زاویه ای کل سیستم بر حسب زمان

### مقایسه نتایج:

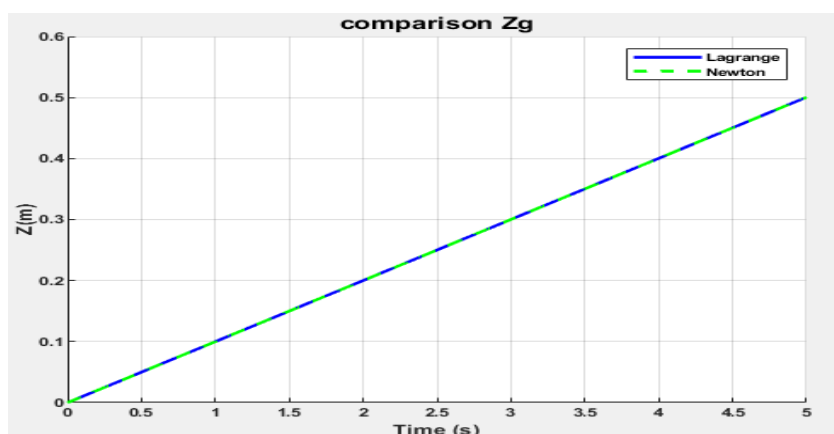
همان طور که از نمودار های بالا مشاهده می کنید نتایج روش لاگرانژ و کوآترینیون ها دارای نتایج کاملاً مشابه می باشند به دلیل اینکه سیستم در نقطه ای دور از حالت **singularity** قرار دارد . لذا در زیر فقط به مقایسه روش نیوتن و روش لاگرانژ می پردازیم .



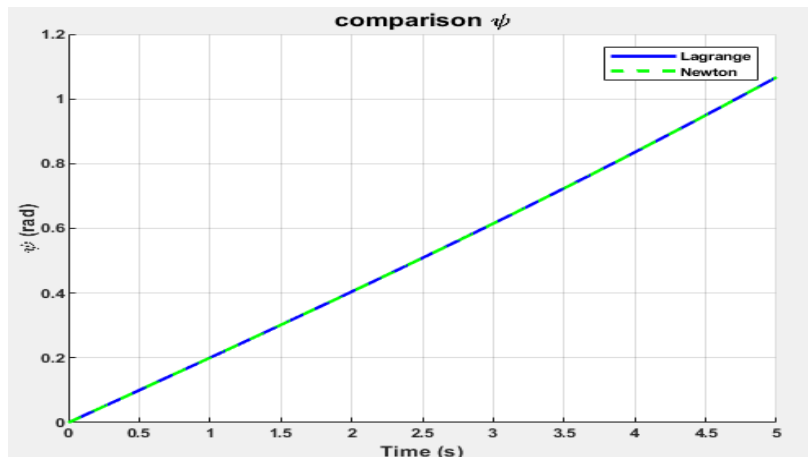
نمودار ۱۹: مقایسه  $Xg$  در روش لاگرانژ و نیوتن



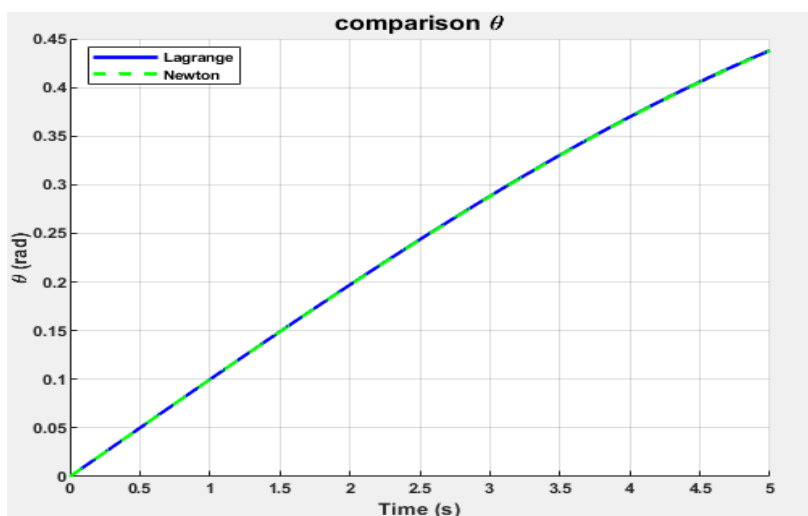
نمودار ۲۰: مقایسه  $Yg$  در روش لاگرانژ و نیوتن



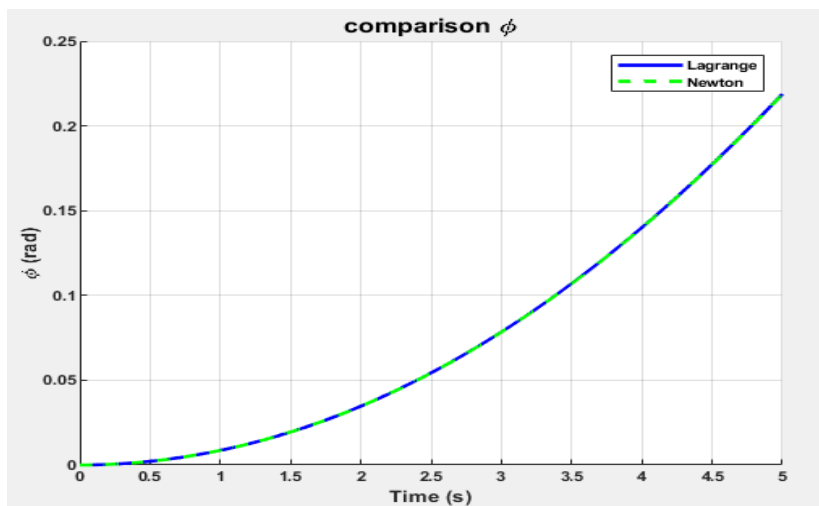
نمودار ۲۱: مقایسه  $Zg$  در روش لاگرانژ و نیوتن



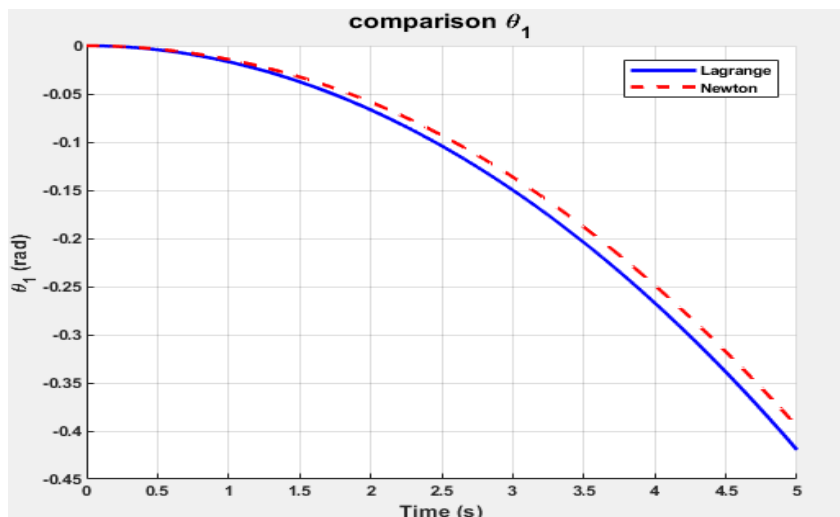
نمودار ۲۲: مقایسه  $\psi$  در روش لاگرانژ و نیوتن



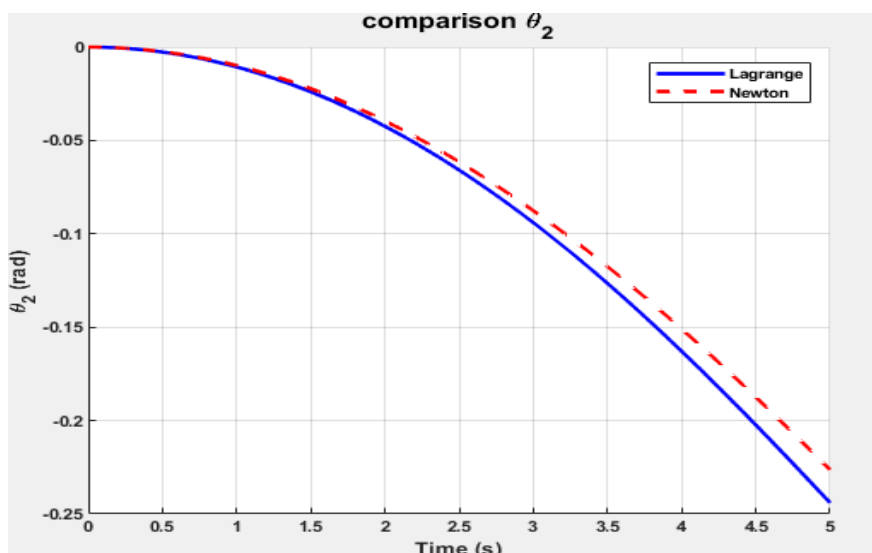
نمودار ۲۳: مقایسه  $\theta$  در روش لاگرانژ و نیوتن



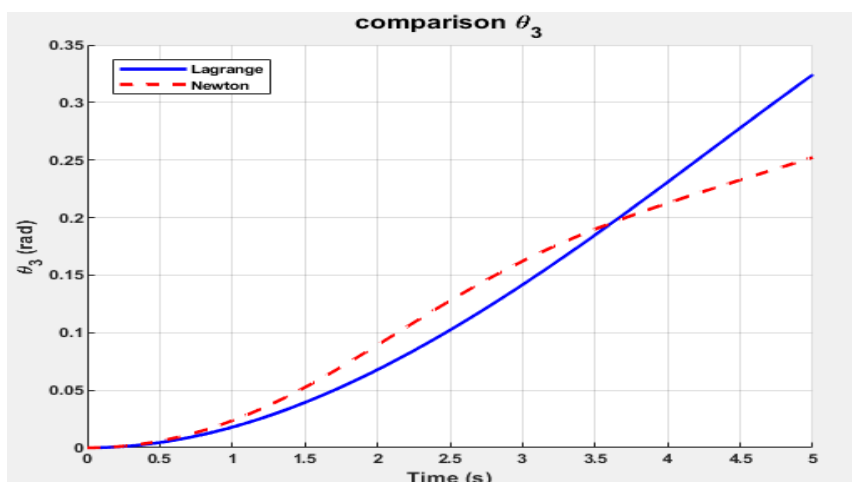
نمودار ۲۴: مقایسه  $\phi$  در روش لاگرانژ و نیوتن



نمودار ۲۵: مقایسه  $\theta_1$  در روش لاگرانژ و نیوتن



نمودار ۲۶: مقایسه  $\theta_2$  در روش لاگرانژ و نیوتن

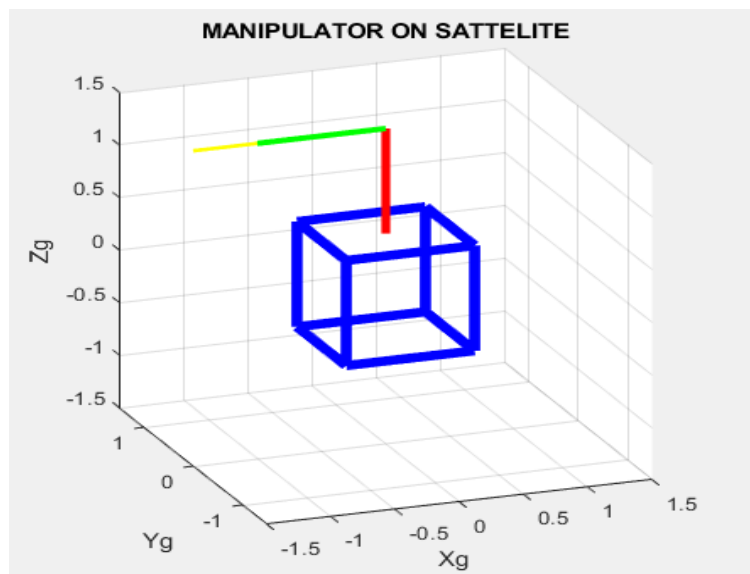


نمودار ۲۷: مقایسه  $\theta_3$  در روش لاگرانژ و نیوتن

## - نتیجه گیری

همان طور که از نمودارهای مقایسه دو روش لاگرانژ و نیوتن مشخص است در هر دو روش با شرایط اولیه یکسان، موقعیت و وضعیت بدنه ماهواره کاملاً یکسان می باشد تنها تفاوت آنها در زوایای لینک ها به میزان کمی است که دلیل آن یا اشتباه فردی است یا هم حل عددی در متلب.

## فصل ۵ بخش گرافیکی (انیمیشن)



شکل ۱۱: شماتیک کلی انیمیشن طراحی شده در نرم افزار متلب

کد مربوط به این قسمت پیوست شده است.

## پیوست ۱ : ممان های اینرسی و ماتریس های دوران

$$I_{G_{sat}}^{x_r y_r z_r} = \begin{bmatrix} I_{xx} & -I_{xy} & -I_{xz} \\ -I_{xy} & I_{yy} & -I_{yz} \\ -I_{xz} & -I_{yz} & I_{zz} \end{bmatrix}, \quad I_{link_1}^{x_r y_r z_r} = \begin{bmatrix} \frac{1}{12} m_1 l_1^2 & \cdot & \cdot \\ \cdot & \frac{1}{12} m_1 l_1^2 & \cdot \\ \cdot & \cdot & \cdot \end{bmatrix}$$

$$I_{link_r}^{x_\Delta y_\Delta z_\Delta} = \begin{bmatrix} \frac{1}{12} m_r l_r^2 & \cdot & \cdot \\ \cdot & \cdot & \cdot \\ \cdot & \cdot & \frac{1}{12} m_r l_r^2 \end{bmatrix}, \quad I_{link_r}^{x_\varphi y_\varphi z_\varphi} = \begin{bmatrix} \frac{1}{12} m_r l_r^2 & \cdot & \cdot \\ \cdot & \cdot & \cdot \\ \cdot & \cdot & \frac{1}{12} m_r l_r^2 \end{bmatrix}$$

$$R_{Z,\psi} = \begin{bmatrix} c\psi & s\psi & \cdot \\ -s\psi & c\psi & \cdot \\ \cdot & \cdot & 1 \end{bmatrix}, \quad R_{y_1,\theta} = \begin{bmatrix} c\theta & \cdot & -s\theta \\ \cdot & 1 & \cdot \\ s\theta & \cdot & c\theta \end{bmatrix}$$

$$R_{x_r,\phi} = \begin{bmatrix} 1 & \cdot & \cdot \\ \cdot & c\phi & s\phi \\ \cdot & -s\phi & c\phi \end{bmatrix}, \quad R_{z_r,\theta_1} = \begin{bmatrix} c\theta_1 & s\theta_1 & \cdot \\ -s\theta_1 & c\theta_1 & \cdot \\ \cdot & \cdot & 1 \end{bmatrix}$$

$$R_{x_r,\theta_r} = \begin{bmatrix} 1 & \cdot & \cdot \\ \cdot & c\theta_r & s\theta_r \\ \cdot & -s\theta_r & c\theta_r \end{bmatrix}, \quad R_{x_\Delta,\theta_r} = \begin{bmatrix} 1 & \cdot & \cdot \\ \cdot & c\theta_r & s\theta_r \\ \cdot & -s\theta_r & c\theta_r \end{bmatrix}$$



## پیوست ۲ : کدهای متلب دینامیک لاگرانژی

code ۱ : lagrangian symbolic derivation

```

clc
clear
close all
t=clock;
%% SYMBOLIC VARIABLE
syms t
syms a b c
syms L۱ L۲ L۳
syms Ms m۱ m۲ m۳
syms Ixx Ixy Ixz Iyy Iyz Izz
syms q۱ q۲ q۳ q۴ q۵ q۶ q۷ q۸ q۹
syms dq۱ dq۲ dq۳ dq۴ dq۵ dq۶ dq۷ dq۸ dq۹
syms ddq۱ ddq۲ ddq۳ ddq۴ ddq۵ ddq۶ ddq۷ ddq۸ ddq۹
% q۱=Xg, q۲=Yg q۳=Zg, x۴=Sai, x۵=Teta, x۶=Phi, x۷=Teta۱, x۸=Teta۲,
x۹=Teta۳,
R۰۱ = [cos(q۴) sin(q۴) ۰;-sin(q۴) cos(q۴) ۰;۰ ۰ ۱]; %XYZ----->x۱y۱z۱
R۱۲ = [cos(q۵) ۰ -sin(q۵);۰ ۱ ۰;sin(q۵) ۰ cos(q۵)]; %x۱y۱z۱----->x۲y۲z۲
R۲۳ = [۱ ۰ ۰;۰ cos(q۶) sin(q۶);۰ -sin(q۶) cos(q۶)]; %x۲y۲z۲----->x۳y۳z۳
R۳۴ = [cos(q۷) sin(q۷) ۰;-sin(q۷) cos(q۷) ۰;۰ ۰ ۱]; %x۳y۳z۳----->x۴y۴z۴
R۴۵ = [cos(q۸) ۰ -sin(q۸);۰ ۱ ۰;sin(q۸) ۰ cos(q۸)]; %x۴y۴z۴----->x۵y۵z۵
R۵۶ = [cos(q۹) ۰ -sin(q۹);۰ ۱ ۰;sin(q۹) ۰ cos(q۹)]; %x۵y۵z۵----->x۶y۶z۶
%coordinate jumping
R۰۳ = R۲۳*R۱۲*R۰۱; %XYZ----->x۳y۳z۳
R۳۵ = R۴۵*R۳۴; %x۳y۳z۳----->x۵y۵z۵
R۳۶ = R۵۶*R۴۵*R۳۴; %x۳y۳z۳----->x۶y۶z۶
R۴۶ = R۵۶*R۴۵; %x۴y۴z۴----->x۶y۶z۶
%% MOIs
I_sat_x۳y۳z۳ = [Ixx -Ixy -Ixz;-Ixy Iyy -Iyz;-Ixz -Iyz Izz];
I_LINK۱_x۴y۴z۴ = ۱/۱۲*m۱*L۱^۲*[۱ ۰ ۰;۰ ۱ ۰;۰ ۰ ۱/۵];
I_LINK۲_x۵y۵z۵ = ۱/۱۲*m۲*L۲^۲*[۱/۵ ۰ ۰;۰ ۱ ۰;۰ ۰ ۱];
I_LINK۳_x۶y۶z۶ = ۱/۱۲*m۳*L۳^۲*[۱/۵ ۰ ۰;۰ ۱ ۰;۰ ۰ ۱];

%% SATELLITE
w_sat_x۳y۳z۳ = R۲۳*R۱۲*R۰۱*[۰;۰;dq۴]+R۲۳*R۱۲*[۰;dq۵;۰]+R۲۳*[dq۶;۰;۰];
vG_sat_XYZ = [dq۱;dq۲;dq۳];
vG_sat_x۳y۳z۳ = R۰۳*vG_sat_XYZ;
HG_sat_x۳y۳z۳ = I_sat_x۳y۳z۳*w_sat_x۳y۳z۳;
T_SAT = ۱/۲*Ms*(vG_sat_XYZ).'*(vG_sat_XYZ)+...
۱/۲*(w_sat_x۳y۳z۳).'*HG_sat_x۳y۳z۳;

%% LINK۱
rgLINK۱_G_x۳y۳z۳ = [۰;۰;c/۲+L۱/۲];
w_LINK۱_x۴y۴z۴ = R۳۴ * w_sat_x۳y۳z۳ + dq۷*[۰;۰;۱];
vg_LINK۱_x۳y۳z۳ = vG_sat_x۳y۳z۳ +
cross(w_sat_x۳y۳z۳,rgLINK۱_G_x۳y۳z۳);
vg_LINK۱_x۴y۴z۴ = R۳۴*vg_LINK۱_x۳y۳z۳;
Hg_LINK۱_x۴y۴z۴ = I_LINK۱_x۴y۴z۴ * w_LINK۱_x۴y۴z۴;
T_LINK۱ = ۱/۲*m۱*(vg_LINK۱_x۳y۳z۳).'*(vg_LINK۱_x۳y۳z۳)+...
۱/۲*(w_LINK۱_x۴y۴z۴).'*Hg_LINK۱_x۴y۴z۴;

```

```

%% joint1
r_joint1_xryrzr = [0;0;c/(1+L1)];
v_joint1_xryrzr = vG_sat_xryrzr+cross(w_sat_xryrzr,r_joint1_xryrzr);
v_joint1_xzyzxi = Rxi*v_joint1_xryrzr;
%% LINK1
rgLINK1_G_xoyozo = Rxi*r_joint1_xryrzr + [L1/1;0;0];
w_LINK1_xoyozo = Rxi*(w_LINK1_xzyzxi+dqi*[0;1;0]);
vg_LINK1_xoyozo=Rxi*v_joint1_xzyzxi+cross(w_LINK1_xoyozo,[L1/1;0;0]);
Hg_LINK1_xoyozo = I_LINK1_xoyozo * w_LINK1_xoyozo;
T_LINK1 = 1/2*m1*(vg_LINK1_xoyozo).'*(vg_LINK1_xoyozo)+...
          1/2*(w_LINK1_xoyozo).'*Hg_LINK1_xoyozo;
%% joint2
r_joint2_xoyozo = Rxi*r_joint1_xryrzr + [L2;0;0];
v_joint2_xoyozo = Rxi*v_joint1_xzyzxi +
cross(w_LINK1_xoyozo,[L2;0;0]);

%% LINK2
w_LINK2_xlylzi = Rxi*(w_LINK1_xoyozo + dqi*[0;1;0]);
rgLINK2_G_xlylzi = Rxi*(r_joint2_xoyozo) + [L2/1;0;0];
vg_LINK2_xlylzi = Rxi * v_joint2_xoyozo +
cross(w_LINK2_xlylzi,[L2/1;0;0]);
Hg_LINK2_xlylzi = I_LINK2_xlylzi * w_LINK2_xlylzi;
T_LINK2 = 1/2*m2*(vg_LINK2_xlylzi).'*(vg_LINK2_xlylzi)+...
          1/2*(w_LINK2_xlylzi).'*Hg_LINK2_xlylzi;

%% KINETIC AND POTENTIAL ENERGY-->LAGRANZHIAN
T = T_SAT + T_LINK1 + T_LINK2 + T_LINK3;
V = 0;
L = T-V;
E = T+V;
%% Generalized coordinates
q=[q1;q2;q3;q4;q5;q6;q7;q8;q9];
dq=[dq1;dq2;dq3;dq4;dq5;dq6;dq7;dq8;dq9];
%%
dL_dq = jacobian(L,q);
dL_ddq = jacobian(L,dq);

M = jacobian(dL_ddq,dq);
N = jacobian(dL_ddq,q);
A = diff(dL_ddq.',t);
B = N*dq + A - dL_dq.';

%% Linear and Angular Momentum
P_XYZ=Ms*vG_sat_XYZ+m1*R.ri.*vg_LINK1_xryrzr+m2*(Rxi*R.ri).'*vg_LINK2_xoyozo+m3*(Rxi*R.ri).'*vg_LINK3_xlylzi;

rGsat_XYZ = [q1;q2;q3];
Hsat_XYZ = R.ri.*HG_sat_xryrzr + Ms*cross(rGsat_XYZ,vG_sat_XYZ);

rg_LINK1_XYZ = rGsat_XYZ + R.ri.*(rgLINK1_G_xryrzr);
Hg_LINK1_XYZ = (Rxi*R.ri).'*Hg_LINK1_xzyzxi +
m1*cross(rg_LINK1_XYZ,R.ri.*vg_LINK1_xryrzr);

rg_LINK2_XYZ = rGsat_XYZ+(Rxi*R.ri).'*rgLINK2_G_xoyozo;
Hg_LINK2_XYZ = (Rxi*R.ri).'*Hg_LINK2_xoyozo +
m2*cross(rg_LINK2_XYZ,(Rxi*R.ri).'*vg_LINK2_xoyozo);

rg_LINK3_XYZ = rGsat_XYZ+(Rxi*R.ri).'*rgLINK3_G_xlylzi;

```

```

Hg_LINKr_XYZ=(Rr1*R.3) .*Hg_LINKr_xlylzl+m3*cross(rg_LINKr_XYZ,(Rr1*R.
3) .*vg_LINKr_xlylzl);

H_XYZ = Hsat_XYZ + Hg_LINK\XYZ + Hg_LINKv_XYZ + Hg_LINKr_XYZ;

%% matlabFunctions
MFunc=matlabFunction(M,'File','generate\\Mfunc');
BFunc=matlabFunction(B,'File','generate\\Bfunc');
EFunc=matlabFunction(E,'File','generate\\Efunc');
PFunc=matlabFunction(P_XYZ,'file','generate\\Pfunc');
HFunc=matlabFunction(H_XYZ,'file','generate\\Hfunc');
%% END
t1=clock;
ti=etime(t1,t0)/10;
disp(['Newtonian Symbolic Derivation Simulation Time: ' num2str(ti)
' (min) '])

```

code: lagrangian Run\_me

```

function dz=Lagrange_SAT_DYNAMIC(t,z)
dz = z;
dz(1:9) = z(10:18);

global a b c L1 L2 L3 Ms m1 m2 m3 Ixx Ixy Ixz Iyy Iyz Izz tav1 tav2
tav3 fX fY fZ

q1 = z(1); q2 = z(2); q3 = z(3); q4 = z(4); q5 = z(5); q6 = z(6); q7 =
z(7); q8 = z(8); q9 = z(9);
dq1 = z(10); dq2 = z(11); dq3 = z(12); dq4 = z(13); dq5 = z(14); dq6 =
z(15); dq7 = z(16); dq8 = z(17); dq9 = z(18);

M=Mfunc(Ixx,Ixy,Ixz,Iyy,Iyz,Izz,L1,L2,L3,Ms,c,m1,m2,m3,q4,q5,q6,q7,q8,
q9);

B=Bfunc(Ixx,Ixy,Ixz,Iyy,Iyz,Izz,L1,L2,L3,c,dq1,dq2,dq3,dq4,dq5,dq6,dq7
,dq8,dq9,m1,m2,m3,q4,q5,q6,q7,q8,q9);
Q = [fX;fY;fZ;0;0;-tav1;tav1;tav2-tav3;tav3];

dz(10:18) = -M\ (B+Q);
end

```

## پیوست ۳ کدهای متلب دینامیک نیوتنی

coder: Newtonian Symbolic Derivation

```

clc
clear
close all
t=clock;
%% SYMBOLIC VARIABLE
syms t
syms a b c
syms L1 L2 L3
syms Ms m1 m2 m3
syms fX fY fZ % External Forces
syms tav1 tav2 tav3 % Input momentum of motors
syms Ixx Ixy Ixz Iyy Iyz Izz
syms q1 q2 q3 q4 q5 q6 q7 q8 q9
syms dq1 dq2 dq3 dq4 dq5 dq6 dq7 dq8 dq9
syms ddq1 ddq2 ddq3 ddq4 ddq5 ddq6 ddq7 ddq8 ddq9
% q1=Xg, q2=Yg q3=Zg, x1=Sai, x2=Teta, x3=Phi, x4=Teta1, x5=Teta2,
x6=Teta3,
R11 = [cos(q1) sin(q1) 0; -sin(q1) cos(q1) 0; 0 0 1]; %XYZ----->x1y1z1
R12 = [cos(q2) 0 -sin(q2); 0 1 0; sin(q2) 0 cos(q2)]; %x1y1z1----->x2y2z2
R13 = [1 0 0; 0 cos(q3) sin(q3); 0 -sin(q3) cos(q3)]; %x2y2z2----->x3y3z3
R14 = [cos(q4) sin(q4) 0; -sin(q4) cos(q4) 0; 0 0 1]; %x3y3z3----->x4y4z4
R15 = [cos(q5) 0 -sin(q5); 0 1 0; sin(q5) 0 cos(q5)]; %x4y4z4----->
>x5y5z5
R16 = [cos(q6) 0 -sin(q6); 0 1 0; sin(q6) 0 cos(q6)]; %x5y5z5----->x6y6z6
%coordinate jumping
R17 = R13*R12*R11; %XYZ----->x7y7z7
R18 = R15*R14; %x7y7z7----->x8y8z8
R19 = R16*R18*R17; %x7y7z7----->x9y9z9
R21 = R16*R18; %x7y7z7----->x10y10z10
%% MOIs
I_sat_x7y7z7 = [Ixx -Ixy -Ixz; -Ixy Iyy -Iyz; -Ixz -Iyz Izz];
I_LINK1_x8y8z8 = 1/12*m1*L1^2*[1 0 0; 0 1 0; 0 0 1/0];
I_LINK2_x8y8z8 = 1/12*m2*L2^2*[1/0 0 0; 0 1 0; 0 0 1];
I_LINK3_x10y10z10 = 1/12*m3*L3^2*[1/0 0 0; 0 1 0; 0 0 1];

%% SATELLITE
w_sat_x7y7z7 = R17*R12*R11*[0;0;0]+R17*R12*[0;dq1;0]+R17*[dq2;0;0];
vG_sat_XYZ = [dq1;dq2;dq3];
vG_sat_x7y7z7 = R17*vG_sat_XYZ;
HG_sat_x7y7z7 = I_sat_x7y7z7*w_sat_x7y7z7;
T_SAT = 1/2*Ms*(vG_sat_XYZ).'*(vG_sat_XYZ)+...
1/2*(w_sat_x7y7z7).'*HG_sat_x7y7z7;

%% LINK1
rgLINK1_G_x7y7z7 = [0;0;c/2+L1/2];
w_LINK1_x8y8z8 = R14 * w_sat_x7y7z7 + dq4*[0;0;1];
vg_LINK1_x7y7z7 = vG_sat_x7y7z7 +
cross(w_sat_x7y7z7,rgLINK1_G_x7y7z7);
vg_LINK1_x8y8z8 = R14*vg_LINK1_x7y7z7;
Hg_LINK1_x8y8z8 = I_LINK1_x8y8z8 * w_LINK1_x8y8z8;

```

```

T_LINK\ = 1/2*m*(vg_LINK\_xryrzr).' * (vg_LINK\_xryrzr)+...
          1/2*(w_LINK\_xzyzzz).' * Hg_LINK\_xzyzzz;
%% joint\
r_joint\_xryrzr = [0;0;c/2+L1];
v_joint\_xryrzr = vG_sat_xryrzr + cross(w_sat_xryrzr,r_joint\_xryrzr);
v_joint\_xzyzzz = Rz*v_joint\_xryrzr;
%% LINK\
rgLINK\_G_xoyozo = Rz*r_joint\_xryrzr + [L2/2;0;0];
w_LINK\_xoyozo = Rx*(w_LINK\_xzyzzz+dqA*[0;1;0]);
vg_LINK\_xoyozo = Rx *v_joint\_xzyzzz +
cross(w_LINK\_xoyozo, [L2/2;0;0]);
Hg_LINK\_xoyozo = I_LINK\_xoyozo * w_LINK\_xoyozo;
T_LINK\ = 1/2*m*(vg_LINK\_xoyozo).' * (vg_LINK\_xoyozo)+...
          1/2*(w_LINK\_xoyozo).' * Hg_LINK\_xoyozo;
%% jointr
r_jointr_xoyozo = Rz*r_joint\_xryrzr + [L2;0;0];
v_jointr_xoyozo = Rx*v_joint\_xzyzzz +
cross(w_LINK\_xoyozo, [L2;0;0]);
%% LINKr
w_LINKr_xlylzl = Ro1*(w_LINK\_xoyozo + dq1*[0;1;0]);
rgLINKr_G_xlylzl = Ro1*(r_jointr_xoyozo) + [L2/2;0;0];
vg_LINKr_xlylzl=Ro1*v_jointr_xoyozo+cross(w_LINKr_xlylzl, [L2/2;0;0]);
Hg_LINKr_xlylzl = I_LINKr_xlylzl * w_LINKr_xlylzl;
T_LINKr = 1/2*m*(vg_LINKr_xlylzl).' * (vg_LINKr_xlylzl)+...
          1/2*(w_LINKr_xlylzl).' * Hg_LINKr_xlylzl;

%% ACCELERATION AND ANGULAR MOMENTUMS of CENTER OF MASSs
q=[q1;q2;q3;q4;q5;q6;q7;q8;q9];
dq=[dq1;dq2;dq3;dq4;dq5;dq6;dq7;dq8;dq9];
ddq=[ddq1;ddq2;ddq3;ddq4;ddq5;ddq6;ddq7;ddq8;ddq9];

S = [q;dq];
dS = [dq;ddq];
%% SATELLITE
aG_sat_xryrzr = zeros(3,1);
for i=1:18
    aG_sat_xryrzr = aG_sat_xryrzr + diff(vG_sat_xryrzr,S(i))*dS(i);
end
aG_sat_xryrzr = aG_sat_xryrzr + cross(w_sat_xryrzr,vG_sat_xryrzr);

dHG_sat_xryrzr = zeros(3,1);
for i=1:18
    dHG_sat_xryrzr = dHG_sat_xryrzr + diff(HG_sat_xryrzr,S(i))*dS(i);
end
dHG_sat_xryrzr = dHG_sat_xryrzr + cross(w_sat_xryrzr,HG_sat_xryrzr);
%% LINK\
ag_LINK\_xryrzr = zeros(3,1);
for i=1:18
    ag_LINK\_xryrzr=ag_LINK\_xryrzr+diff(vg_LINK\_xryrzr,S(i))*dS(i);
end
ag_LINK\_xryrzr=ag_LINK\_xryrzr+cross(w_sat_xryrzr,vg_LINK\_xryrzr);

dHg_LINK\_xzyzzz = zeros(3,1);
for i=1:18
    dHg_LINK\_xzyzzz=dHg_LINK\_xzyzzz+diff(Hg_LINK\_xzyzzz,S(i))*dS(i);
end
dHg_LINK\_xzyzzz=dHg_LINK\_xzyzzz+cross(w_LINK\_xzyzzz,Hg_LINK\_xzyzzz
);

```

```

%% LINK2
ag_LINK2_xoyo = zeros(3,1);
for i=1:18
    ag_LINK2_xoyo=ag_LINK2_xoyo+diff(vg_LINK2_xoyo,S(i))*dS(i);
end
ag_LINK2_xoyo=ag_LINK2_xoyo+cross(w_LINK2_xoyo,vg_LINK2_xoyo);

dHg_LINK2_xoyo = zeros(3,1);
for i=1:18
    dHg_LINK2_xoyo=dHg_LINK2_xoyo+diff(Hg_LINK2_xoyo,S(i))*dS(i);
end
dHg_LINK2_xoyo = dHg_LINK2_xoyo +
cross(w_LINK2_xoyo,Hg_LINK2_xoyo);

%% LINK3
ag_LINK3_xlylz = zeros(3,1);
for i=1:18
    ag_LINK3_xlylz=ag_LINK3_xlylz+diff(vg_LINK3_xlylz,S(i))*dS(i);
end
ag_LINK3_xlylz=ag_LINK3_xlylz+cross(w_LINK3_xlylz,vg_LINK3_xlylz);

dHg_LINK3_xlylz = zeros(3,1);
for i=1:18
    dHg_LINK3_xlylz=dHg_LINK3_xlylz+diff(Hg_LINK3_xlylz,S(i))*dS(i);
end
dHg_LINK3_xlylz=dHg_LINK3_xlylz+cross(w_LINK3_xlylz,Hg_LINK3_xlylz);

%% EQUATIONS
EQ1_2 = Ms*aG_sat_xryrzr + m1*ag_LINK1_xryrzr +...
        m2*R2o.*'ag_LINK2_xoyo + m3*R3l.*'ag_LINK3_xlylz -
R.3*[fX;fY;fZ];

EQ2_1 = dHG_sat_xryrzr+...
        R3l.*'dHg_LINK1_xlylz +
m1*cross(rgLINK1_G_xryrzr,ag_LINK1_xryrzr)+...
        R2o.*'(dHg_LINK2_xoyo +
m2*cross(rgLINK2_G_xoyo,ag_LINK2_xoyo))+...
        R3l.*'(dHg_LINK3_xlylz +
m3*cross(rgLINK3_G_xlylz,ag_LINK3_xlylz));%There isnt external
momentum
EQV = dHg_LINK3_xlylz + m3*cross([L2/2;0;0],ag_LINK3_xlylz)-
[0;tav3;0];%external momentum about joint3 on link3
EQV = EQV.*'[0;1;0];% EQV = dot(EQV,[1;0;0]);

EQ4 = dHg_LINK2_xoyo + m2*cross([L2/2;0;0],ag_LINK2_xoyo)+...
        R2l.*'(dHg_LINK3_xlylz
+m3*cross(R2l*[L2;0;0]+[L2/2;0;0],ag_LINK3_xlylz))-
[0;tav2;0];%external momentum about joint2 on link2

EQ9 = R3l.*'dHg_LINK1_xlylz +
m1*cross([0;0;L1/2],ag_LINK1_xryrzr)+...
        R2o.*'(dHg_LINK2_xoyo +
m2*cross(R2o*[0;0;L1]+[L2/2;0;0],ag_LINK2_xoyo))+...
        R3l.*'(dHg_LINK3_xlylz +
m3*cross(R3l*[0;0;L1]+R2l*[L2;0;0]+[L2/2;0;0],ag_LINK3_xlylz))-
[0;0;tav1];%external momentum about joint1 on link1

```

```

EQ9 = EQ9.'*[0;0;1];% EQ9=dot(EQ9,[0;0;1]);

EQ = [EQ1_3;EQ2_6;EQ7;EQ8;EQ9];
%%
Mass=jacobian(EQ,ddq);
M = simplify(Mass);
% B = EQ-M*ddq;
% B = simplify(B);
B=subs(EQ,[ddq1,ddq2,ddq3,ddq4,ddq5,ddq6,ddq7,ddq8,ddq9],[0,0,0,0,0,0,0,0,0]);

T = T_SAT + T_LINK1 + T_LINK2 + T_LINK3;
V = 0;
E=T+V;
%% linear and Angular Momentum
P_XYZ =
Ms*vG_sat_XYZ+m1*R.3.*vg_LINK1_xryrzr+m2*(R5*R.3).*vg_LINK2_xoyozo+
m3*(R6*R.3).*vg_LINK3_xlylzl;

rGsat_XYZ = [q1;q2;q3];
Hsat_XYZ = R.3.*HG_sat_xryrzr + Ms*cross(rGsat_XYZ,vG_sat_XYZ);

rg_LINK1_XYZ = rGsat_XYZ + R.3.*(rgLINK1_G_xryrzr);
Hg_LINK1_XYZ = (R3*R.3).*HG_LINK1_xsyzzs +
m1*cross(rg_LINK1_XYZ,R.3.*vg_LINK1_xryrzr);

rg_LINK2_XYZ = rGsat_XYZ+(R5*R.3).*rgLINK2_G_xoyozo;
Hg_LINK2_XYZ = (R5*R.3).*HG_LINK2_xoyozo +
m2*cross(rg_LINK2_XYZ,(R5*R.3).*vg_LINK2_xoyozo);

rg_LINK3_XYZ = rGsat_XYZ+(R6*R.3).*rgLINK3_G_xlylzl;
Hg_LINK3_XYZ = (R6*R.3).*HG_LINK3_xlylzl +
m3*cross(rg_LINK3_XYZ,(R6*R.3).*vg_LINK3_xlylzl);

H_XYZ = Hsat_XYZ + Hg_LINK1_XYZ + Hg_LINK2_XYZ + Hg_LINK3_XYZ;

%% matlabFunctions
MFunc=matlabFunction(M,'File','generate\1\Mfunc');
BFunc=matlabFunction(B,'File','generate\1\Bfunc');
EFunc=matlabFunction(E,'File','generate\1\Efunc');
PFunc=matlabFunction(P_XYZ,'file','generate\1\Pfunc');
HFunc=matlabFunction(H_XYZ,'file','generate\1\Hfunc');
%% END

```

code\*: Newtonian ODE45

```

function dz = Newton_Sat_Dynamics(t,z)

dz = z;
dz(1:9) = z(10:18);

global a b c L1 L2 L3 Ms m1 m2 m3 Ixx Ixy Ixz Iyy Iyz Izz tav1 tav2
tav3 fX fY fZ

q1 = z(1); q2 = z(2); q3 = z(3); q4 = z(4); q5 = z(5); q6 = z(6); q7 =
z(7); q8 = z(8); q9 = z(9);

```

```

dq1 = z(10); dq2 = z(11); dq3 = z(12); dq4 = z(13); dq5 = z(14); dq6 = z(15); dq7 = z(16); dq8 = z(17); dq9 = z(18);

M =
Mfunc(Ixx,Ixy,Ixz,Iyy,Iyz,Izz,L1,L2,L3,Ms,c,m1,m2,m3,q4,q5,q6,q7,q8,q9);

B =
Bfunc(Ixx,Ixy,Ixz,Iyy,Iyz,Izz,L1,L2,L3,Ms,c,dq1,dq2,dq3,dq4,dq5,dq6,dq7,dq8,dq9,fX,fY,fZ,m1,m2,m3,q4,q5,q6,q7,q8,q9,tav1,tav2,tav3);
dz(10:18) = -M\B;

end

```

## پیوست ۴ کدهای متلب کواترنيون ها

code ۵: Quaternion Symbolic Derivation

```

clc
clear all
close all
t=clock;
%% symbolic parameters
syms t
syms c L1 L2 L3
syms Ms m1 m2 m3
syms q1 q2 q3 e1 e2 e3 q4 q8 q9
syms dq1 dq2 dq3 de1 de2 de3 dq4 dq8 dq9
syms Ixx Iyy Izz Ixy Ixz Iyz
% q1=Xg, q2=Yg, q3=Zg, e1=cos(alpha/2),
e1=c1*sin(alpha/2),e2=c2*sin(alpha/2),e3=c3*sin(alpha/2),
% q4=Teta1, q8=Teta2, q9=Teta3,
%% MOMENT OF INNERTIA
I_sat_xryrzr = [Ixx -Ixy -Ixz;-Ixy Iyy -Iyz;-Ixz -Iyz Izz];
I_LINK1_xyz = 1/12*m1*L1^2*[1 0 0;0 1 0;0 0 1];
I_LINK2_xoyoz = 1/12*m2*L2^2*[1/5 0 0;0 1 0;0 0 1];
I_LINK3_xlylz = 1/12*m3*L3^2*[1/5 0 0;0 1 0;0 0 1];

%% ROTATION MATRIXS
R03 = [e1^2+e2^2-e3^2-e3^2 2*(e1*e2+e3*e3) 2*(e1*e3-e3*e2);
        2*(e1*e2-e3*e3) e1^2-e1^2+e2^2-e3^2 2*(e2*e3+e3*e1);
        2*(e1*e3+e3*e2) 2*(e2*e3-e3*e1) e1^2-e1^2-e2^2+e3^2];%XYZ-xryrzr
R34 = [cos(q4) sin(q4) 0;-sin(q4) cos(q4) 0;0 0 1]; %xryrzr---->xyz
R45 = [cos(q8) 0 -sin(q8);0 1 0;sin(q8) 0 cos(q8)]; %xyz---->xoyoz
R56 = [cos(q9) 0 -sin(q9);0 1 0;sin(q9) 0 cos(q9)]; %xoyoz---->xlylz
%coordinate jumping
R35 = R45*R34; %xryrzr---->xoyoz
R36 = R56*R45*R34; %xryrzr---->xlylz
R46 = R56*R45; %xyz---->xlylz

W=2*[-e1 e0 e3 -e2;-e2 -e3 e0 e1;-e3 e2 -e1 e0]*[de0;de1;de2;de3];

```



```

%% SATELLITE
w_sat_xryrzr = W;
vG_sat_XYZ = [dq1;dq2;dq3];
vG_sat_xryrzr = R.*vG_sat_XYZ;
HG_sat_xryrzr = I_sat_xryrzr*w_sat_xryrzr;
T_SAT = 1/2*Ms*(vG_sat_XYZ).'*(vG_sat_XYZ)+...
        1/2*(w_sat_xryrzr).'*HG_sat_xryrzr;

%% LINK1
rgLINK1_G_xryrzr = [0;0;c/(1+L1)/1];
w_LINK1_xyz1 = R1.*w_sat_xryrzr + dq1*[0;0;1];
vg_LINK1_xryrzr = vG_sat_xryrzr +
cross(w_sat_xryrzr,rgLINK1_G_xryrzr);
vg_LINK1_xyz1 = R1.*vg_LINK1_xryrzr;
Hg_LINK1_xyz1 = I_LINK1_xyz1.*w_LINK1_xyz1;
T_LINK1 = 1/2*m1*(vg_LINK1_xryrzr).'*(vg_LINK1_xryrzr)+...
        1/2*(w_LINK1_xyz1).'*Hg_LINK1_xyz1;

%% joint2
r_joint2_xryrzr = [0;0;c/(1+L1)];
v_joint2_xryrzr = vG_sat_xryrzr + cross(w_sat_xryrzr,r_joint2_xryrzr);
v_joint2_xyz2 = R2.*v_joint2_xryrzr;
%% LINK2
rgLINK2_G_xoyo2o = R2.*r_joint2_xryrzr + [L2/2;0;0];
w_LINK2_xoyo2o = R2.*(w_LINK1_xyz1+dq1*[0;1;0]);
vg_LINK2_xoyo2o = R2.*v_joint2_xyz2 +
cross(w_LINK2_xoyo2o,[L2/2;0;0]);
Hg_LINK2_xoyo2o = I_LINK2_xoyo2o.*w_LINK2_xoyo2o;
T_LINK2 = 1/2*m2*(vg_LINK2_xoyo2o).'*(vg_LINK2_xoyo2o)+...
        1/2*(w_LINK2_xoyo2o).'*Hg_LINK2_xoyo2o;

%% joint3
r_joint3_xoyo2o = R3.*r_joint2_xryrzr + [L2;0;0];
v_joint3_xoyo2o = R3.*v_joint2_xyz2 +
cross(w_LINK2_xoyo2o,[L2;0;0]);
%% LINK3
w_LINK3_xlylz1 = R3.*(w_LINK2_xoyo2o + dq1*[0;1;0]);
rgLINK3_G_xlylz1 = R3.*(r_joint3_xoyo2o) + [L2/2;0;0];
vg_LINK3_xlylz1 = R3.*v_joint3_xoyo2o +
cross(w_LINK3_xlylz1,[L2/2;0;0]);
Hg_LINK3_xlylz1 = I_LINK3_xlylz1.*w_LINK3_xlylz1;
T_LINK3 = 1/2*m3*(vg_LINK3_xlylz1).'*(vg_LINK3_xlylz1)+...
        1/2*(w_LINK3_xlylz1).'*Hg_LINK3_xlylz1;

%% KINETIC AND POTENTIAL ENERGY---->LAGRANGIAN
T = T_SAT + T_LINK1 + T_LINK2 + T_LINK3;
V = 0;
E=T+V;
L=T-V;
%% Generalized Coordinates
q=[q1;q2;q3;e1;e2;e3;q4;q5;q6];
dq=[dq1;dq2;dq3;de1;de2;de3;dq4;dq5;dq6];
%% Mass and Bias Matrixs
dL_dq = jacobian(L,q);
dL_ddq = jacobian(L,dq);

M = jacobian(dL_ddq,dq);
N = jacobian(dL_ddq,q);
A = diff(dL_ddq.',t);
B = N*dq + A - dL_dq.';

```

```

% There is no need to simplify?
% M=simplify(M);
% B=simplify(B);
%% linear and Angular Momentum
P_XYZ =
Ms*vG_sat_XYZ+m\*R\*r\.*'vg_LINK\_xryrzr+m\*(R\o\*R\*r\).*'vg_LINK\_xoyozo+
m\*(R\i\*R\*r\).*'vg_LINK\_xlylzl;

rGsat_XYZ = [q\;q\;q\];
Hsat_XYZ = R\*r\.*'HG_sat_xryrzr + Ms*cross(rGsat_XYZ,vG_sat_XYZ);

rg_LINK\_XYZ = rGsat_XYZ + R\*r\.*'(rgLINK\_G_xryrzr);
Hg_LINK\_XYZ = (R\i\*R\*r\).*'Hg_LINK\_xlylzl +
m\*cross(rg_LINK\_XYZ,R\*r\.*'vg_LINK\_xryrzr);

rg_LINK\XYZ = rGsat_XYZ+(R\o\*R\*r\).*'rgLINK\_G_xoyozo;
Hg_LINK\XYZ = (R\o\*R\*r\).*'Hg_LINK\_xoyozo +
m\*cross(rg_LINK\XYZ,(R\o\*R\*r\).*'vg_LINK\_xoyozo);

rg_LINKr_XYZ = rGsat_XYZ+(R\i\*R\*r\).*'rgLINKr_G_xlylzl;
Hg_LINKr_XYZ = (R\i\*R\*r\).*'Hg_LINKr_xlylzl +
m\*cross(rg_LINKr_XYZ,(R\i\*R\*r\).*'vg_LINKr_xlylzl);

H_XYZ = Hsat_XYZ + Hg_LINK\XYZ + Hg_LINK\XYZ + Hg_LINKr_XYZ;

%% matlabFunctions
MFunc=matlabFunction(M,'File','generate\1\MFunc');
BFunc=matlabFunction(B,'File','generate\1\BFunc');
PFunc=matlabFunction(P_XYZ,'File','generate\1\PFunc');
HFunc=matlabFunction(H_XYZ,'File','generate\1\HFunc');
EFunc=matlabFunction(E,'File','generate\1\EFunc');

%%
t\=clock;
ti=etime(t\,t\)/\.;
disp(['Quaternions Symbolic Derivation Simulation Time: ' num\str(ti)
' (min)'])
%% END

```

code: Quaternions ODE45

```

function dZ=dyn_Quat(t,Z)
dZ=Z;
global a b c L\ L\ L\ Ms m\ m\ m\ Ixx Ixy Ixz Iyy Iyz Izz tav\ tav\
tav\ fX fY fZ

q\ = Z(\);q\ = Z(\);q\ = Z(\);e\=Z(\); e\=Z(\); e\=Z(\); e\=Z(\);q\ =
Z(\);q\ = Z(\);q\ = Z(\);
dq\ = Z(\);dq\ = Z(\);dq\ = Z(\);de\=Z(\); de\=Z(\); de\=Z(\);
de\=Z(\);dq\ = Z(\);dq\ = Z(\);dq\ = Z(\);dq\ = Z(\);

M=MFunc(Ixx,Ixy,Ixz,Iyy,Iyz,Izz,L\,L\,L\,Ms,c,e\,e\,e\,e\,m\,m\,m\,q\,
q\,q\);
B=BFunc(Ixx,Ixy,Ixz,Iyy,Iyz,Izz,L\,L\,L\,c,de\,de\,de\,dq\,dq\,dq\,
dq\,dq\,dq\,e\,e\,e\,e\,m\,m\,m\,q\,q\,q\);
Q = [fX;fY;fZ;-tav\;-tav\;\;\;tav\;tav\-tav\;tav\];

```

```

a1=[0 0 0 e0 e1 e2 e3 0 0 0];
a1_dot=[0 0 0 de0 de1 de2 de3 0 0 0];

F_aug=[-(B+Q);a1_dot*Z(11:20)];
M_aug=[M -a1.';-a1 0];

dZ(1:10)=Z(11:20);
dzz=M_aug\F_aug;
dZ(11:20)=dzz(1:10);
end

```

کد مربوط به انیمیشن و رسم نمودارها:

codev: ANIMATION PART

```

function SAT_ANIMATION(t,a,b,c,L1,L2,L3,q1,q2,q3,q4,q5,q6,q7,q8,q9)
hold on;grid on
Len=length(t);
for i=1:Len
    R1=[cos(q1(i)) sin(q1(i)) 0;-sin(q1(i)) cos(q1(i)) 0;0 0 1];%XYZ----->x1y1z1
    R2=[cos(q2(i)) 0 -sin(q2(i));0 1 0;sin(q2(i)) 0 cos(q2(i))];%x1y1z1----->x2y2z2
    R3=[1 0 0;0 cos(q3(i)) sin(q3(i));0 -sin(q3(i)) cos(q3(i))];%x2y2z2----->x3y3z3
    R03=R3*R2*R1;
    %XYZ----->x3y3z3
    R4=[cos(q4(i)) sin(q4(i)) 0;-sin(q4(i)) cos(q4(i)) 0;0 0 1];
    %x3y3z3----->x4y4z4
    R5=[cos(q5(i)) 0 -sin(q5(i));0 1 0;sin(q5(i)) 0 cos(q5(i))];
    %x4y4z4----->x5y5z5
    R06=[cos(q6(i)) 0 -sin(q6(i));0 1 0;sin(q6(i)) 0 cos(q6(i))];
    %x5y5z5----->x1y1z1

    Rt1=R03.';
    Rt2=(R5*R4*R3*R03).';
    Rt3=(R06*R5*R4*R3*R03).';
    %Satellite Corners
    P1=[q1(i);q2(i);q3(i)]+Rt1*1/2*[-b;-a;c];
    P2=[q1(i);q2(i);q3(i)]+Rt1*1/2*[b;-a;c];
    P3=[q1(i);q2(i);q3(i)]+Rt1*1/2*[-b;a;c];
    P4=[q1(i);q2(i);q3(i)]+Rt1*1/2*[b;a;c];
    P5=[q1(i);q2(i);q3(i)]+Rt1*1/2*[b;a;-c];
    P6=[q1(i);q2(i);q3(i)]+Rt1*1/2*[b;-a;-c];
    P7=[q1(i);q2(i);q3(i)]+Rt1*1/2*[-b;a;-c];
    P8=[q1(i);q2(i);q3(i)]+Rt1*1/2*[-b;-a;-c];
    %Manipulators Joints
    J1=[q1(i);q2(i);q3(i)]+Rt1*[0;0;c/2];
    J2=[q1(i);q2(i);q3(i)]+Rt1*[0;0;c/2+L1];
    J3=J2+Rt2*[0;L2;0];
    END=J3+Rt3*[0;L3;0];
    %
    V12=[P1,P2]; V13=[P1,P3]; V24=[P2,P4]; V34=[P3,P4];
    V45=[P4,P5]; V56=[P5,P6]; V67=[P6,P7]; V78=[P7,P8];
    V18=[P1,P8]; V37=[P3,P7]; V26=[P2,P6]; V86=[P8,P6];
    %
    VJ1J2=[J1,J2];
    VJ2J3=[J2,J3];

```

```

VJrEND = [Jr,END];
%
plotr(V\i(1,:),V\i(2,:),V\i(3,:), 'b', 'linewidth',o);title('MANIPULATOR
ON SATTELITE')
xlabel('Xg');ylabel('Yg');zlabel('Zg');
hold on;grid on
plotr(V\i(1,:),V\i(2,:),V\i(3,:), 'b-', 'linewidth',o)
plotr(Vxi(1,:),Vxi(2,:),Vxi(3,:), 'b-', 'linewidth',o)
plotr(Vxi(1,:),Vxi(2,:),Vxi(3,:), 'b-', 'linewidth',o)
plotr(Vxi(1,:),Vxi(2,:),Vxi(3,:), 'b-', 'linewidth',o)
plotr(Voi(1,:),Voi(2,:),Voi(3,:), 'b-', 'linewidth',o)
plotr(Voi(1,:),Voi(2,:),Voi(3,:), 'b-', 'linewidth',o)
plotr(V\i(1,:),V\i(2,:),V\i(3,:), 'b-', 'linewidth',o)
plotr(V\i(1,:),V\i(2,:),V\i(3,:), 'b-', 'linewidth',o)
plotr(V\i(1,:),V\i(2,:),V\i(3,:), 'b-', 'linewidth',o)
plotr(V\i(1,:),V\i(2,:),V\i(3,:), 'b-', 'linewidth',o)
plotr(Vxi(1,:),Vxi(2,:),Vxi(3,:), 'b-', 'linewidth',o)

plotr(VJ\Ji(1,:),VJ\Ji(2,:),VJ\Ji(3,:), 'r-', 'linewidth',xi)
plotr(VJ\Jr(1,:),VJ\Jr(2,:),VJ\Jr(3,:), 'g-', 'linewidth',r)
plotr(VJrEND(1,:),VJrEND(2,:),VJrEND(3,:), 'y-', 'linewidth',r)

axis equal
axis([q\i(1)-i*a q\i(1)+i*a (q\i(2)-i*a (q\i(2)+i*a (q\i(3)-i*a
(q\i(3)+i*a)])
str=['Time = ',num2str(t(i))];
text(q\i(1)+a,q\i(2)-a,q\i(3)-i*a,str)

hold off
pause(.,.)
end
end

```

*codeA: plot part*

```

function plotter(str,t,q\,q\,q\,q\,q\,q\,q\,q\,ER,LM_x,LM_y,LM_z,AM_
x,AM_y,AM_z)
figure
hold on;grid on
plot(t,q\, 'b-', 'linewidth',i)
plot(t,q\, 'r-', 'linewidth',i)
plot(t,q\, 'g--', 'linewidth',i)
legend('X','Y','Z')
set(gca, 'fontsize',\, 'fontweight', 'bold');
xlabel('Time (s)', 'fontsize',\, 'fontweight', 'bold');
ylabel('Satellite Global Position
(m)', 'fontsize',\, 'fontweight', 'bold');
title(str, 'fontsize',\i)

figure
hold on;grid on
plot(t,q\, 'b-', 'linewidth',i)
plot(t,q\, 'r-', 'linewidth',i)
plot(t,q\, 'g-', 'linewidth',i)
legend('\psi', '\theta', '\phi')

```

```

set(gca,'fontsize',\lambda,'fontweight','bold');
xlabel('Time (s)','fontsize',\lambda,'fontweight','bold');
ylabel('Satellite Euler Angles
(rad)','fontsize',\lambda,'fontweight','bold');
title(str,'fontsize',\lambda)

figure
hold on;grid on
plot(t,q\gamma,'b-','linewidth',\gamma)
plot(t,q\lambda,'r-','linewidth',\gamma)
plot(t,q\eta,'g-','linewidth',\gamma)
legend('\theta_{\gamma}','\theta_{\lambda}','\theta_{\gamma}')
set(gca,'fontsize',\lambda,'fontweight','bold');
xlabel('Time (s)','fontsize',\lambda,'fontweight','bold');
ylabel('Manipulator link Angles
(rad)','fontsize',\lambda,'fontweight','bold');
title(str,'fontsize',\lambda)

if ER ~= '~'
    figure
    grid on
    plot(t,ER,'g-','linewidth',\gamma)
    set(gca,'fontsize',\lambda,'fontweight','bold');
    xlabel('Time (s)','fontsize',\lambda,'fontweight','bold');
    ylabel('Mechanical Energy Error
(J)','fontsize',\lambda,'fontweight','bold');
    title(str,'fontsize',\lambda)
end
if LM_x ~= '~'
    figure
    hold on;grid on
    plot(t,(LM_x-LM_x(1))/LM_x(1)*\lambda,\gamma,'b-','linewidth',\gamma)
    plot(t,(LM_y-LM_y(1))/LM_y(1)*\lambda,\gamma,'r-','linewidth',\gamma)
    plot(t,(LM_z-LM_z(1))/LM_z(1)*\lambda,\gamma,'g-','linewidth',\gamma)
    set(gca,'fontsize',\lambda,'fontweight','bold');
    ylabel('Relative Error of Linear Momentum %
','fontsize',\lambda,'fontweight','bold');
    xlabel('Time (s)','fontsize',\lambda,'fontweight','bold');
    legend('P_X','P_Y','P_Z')
    title(str,'fontsize',\lambda)
end
if AM_x ~= '~'
    figure
    hold on;grid on
    plot(t,(AM_x-AM_x(1))/AM_x(1)*\lambda,\gamma,'b-','linewidth',\gamma)
    plot(t,(AM_y-AM_y(1))/AM_y(1)*\lambda,\gamma,'r-','linewidth',\gamma)
    plot(t,(AM_z-AM_z(1))/AM_z(1)*\lambda,\gamma,'g-','linewidth',\gamma)
    set(gca,'fontsize',\lambda,'fontweight','bold');
    ylabel('Relative Error of Angular Momentum %
','fontsize',\lambda,'fontweight','bold');
    xlabel('Time (s)','fontsize',\lambda,'fontweight','bold');
    legend('H_X','H_Y','H_Z')
    title(str,'fontsize',\lambda)
end
end
end

```

## پیوست ۵: AUGMENTED METHOD

- معادلات و قیود حاکم بر سیستم:

$$\begin{cases} [M]_{m*m}\{\ddot{q}\}_{m*1} = \{F\}_{m*1} + [a]_{m*r}^T\{\lambda\}_{r*1} \\ -[a]_{r*m}\{\ddot{q}\}_{m*1} = [\dot{a}]_{r*m}\{\dot{q}\}_{m*1} + \{\dot{b}\}_{r*1} \end{cases}$$

- مشتقات اول و دوم مختصات های تعمیم یافته:

$$\{\dot{Z}\} = \begin{Bmatrix} \{\dot{q}\}_{m*1} \\ \{\dot{\lambda}\}_{r*1} \end{Bmatrix}$$

- فرم ماتریسی معادلات همراه با قیود:

$$\begin{bmatrix} [M]_{m*m} & -[a]_{m*r}^T \\ -[a]_{r*m} & [0]_{r*r} \end{bmatrix} \begin{bmatrix} \{\ddot{q}\}_{m*1} \\ \{\lambda\}_{r*1} \end{bmatrix} = \begin{bmatrix} \{F\}_{m*1} \\ [\dot{a}]_{r*m}\{\dot{q}\}_{m*1} + \{\dot{b}\}_{r*1} \end{bmatrix}$$

- فرم ساده شده ماتریسی:

$$[M_{Aug}] \begin{bmatrix} \{\ddot{q}\}_{m*1} \\ \{\lambda\}_{r*1} \end{bmatrix} = \{F_{Aug}\} \rightarrow \begin{bmatrix} \{\ddot{q}\}_{m*1} \\ \{\lambda\}_{r*1} \end{bmatrix} = [M_{Aug}]^{-1}\{F_{Aug}\}$$

- در نهایت مجهولات سیستم به صورت زیر به ست می آیند:

$$\{Z\}_{\forall m} = \begin{Bmatrix} Z(m+1:\forall m) \\ \{\ddot{q}\}_{m*1} \end{Bmatrix}$$

در این روش باید ماتریس های  $(\forall m+r)*(\forall m+r)$  حل گردد و با استفاده از این روش همانند روش قبل میتوان بردارهای حالت و ضرایب لاگرانژ را بدست آورد. ولی زمان انجام محاسبات نسبت به دیگر روش ها مثل INTEGRATED MULTIPLIER METHOD و ELEMINATION METHOD کمتر است.



**Sharif University of Technology**  
**(Mechanical Engineering)**

**Simulation of 3Dof Manipulator on 3Dof Satellite**

**By:**  
**Iman sharifi**

**Supervisor:**  
**Dr. nejat**

January/۲۰۲۰